## Hochschule für Technik und Wirtschaft Mittweida (FH) Fachbereich Maschinenbau/ Feinwerktechnik

09648 Mittweida Technikumplatz 17

04741 *Roßwein* Döbelner Straße 58

# **Diplomarbeit**

Björnstjerne Zindler Am Hainberg 2 04680 Zschadraß geb. 13. 11. 1966 in Görlitz

"Untersuchung der Besonderheiten beim Rollennahtschweißen großer Längen"

- Untersuchung der Veränderung des Schweißstromes beim Schweißen großer Längen
- Erarbeitung von Lösungsvorschlägen zur Stromkonstanthaltung
- Erarbeitung von Lösungsvorschlägen zur Minimierung der Wärmeentwicklung außerhalb der Schweißstelle

Im Auftrag von:

ASET- Schweißtechnik GmbH Clara- Zetkin- Straße 12 08280 Aue

> Betreuer: Prof. Dr.- Ing. Pfütze Prof. Dr.- Ing. Wißuwa

Roßwein, den 23. März 1996

Björnstjerne Zindler, Am Hainberg 2, 04680 Zschadraß

"Untersuchung der Besonderheiten beim Rollennahtschweißen großer Längen"

- Untersuchung der Veränderung des Schweißstromes beim Schweißen großer Längen
- Erarbeitung von Lösungsvorschlägen zur Stromkonstanthaltung
- Erarbeitung von Lösungsvorschlägen zur Minimierung der Wärmeentwicklung außerhalb der Schweißstelle

Hochschule für Technik und Wirtschaft Mittweida (FH), Fachbereich Maschinenbau/ Feinwerktechnik, 09648 Mittweida, Technikumplatz 17; 04741 Roßwein, Döbelner Straße 58, Diplomarbeit 1996

#### Referat:

Die hier vorliegende Bearbeitung befaßt sich mit den physikalischen Besonderheiten - *Strom* und *Wärme* - bei dem Fügeverfahren "Widerstandsschweißen - Rollennahtschweißen".

Aus dem physikalischen Gebiet "*Elektrik*" - Untersuchungen zu den Veränderungen des Schweißstromes beim Schweißen großer Längen und eben Möglichkeiten um solche unerwünschten Änderungen durch technische Möglichkeiten (*Stromkonstanter*) auszuschließen.

Im Gebiet "Wärme" werden Möglichkeiten erfragt, um Wärme außerhalb der aktuellen Schweißposition in der Schweißeinrichtung zu minimieren, da diese erhebliche Stromverluste darstellen.

Aus Gründen der Übersichtlichkeit wird die Arbeit in 3 Teile gegliedert:

- Elektrik, Elektronik
- Wärme
- Anhang

Die Abschnitte physikalische Grundlagen und Elektronik sind ausführlich beschrieben, mit anschließenden praktischen Versuchen zu diesem Thema. Der Abschnitt Wärme befaßt sich mit vorhandenen Erkenntnissen anderer Arbeiten und dem nochmaligen Überprüfen dieser.

## Vorwort

Die hier vorliegende Bearbeitung befaßt sich mit den physikalischen Besonderheiten - *Strom* und *Wärme* - bei dem Fügeverfahren "Widerstandsschweißen - *Rollennahtschweißen*".

Vom Auftraggeber dieser Arbeit, eine anwendende Firma dieses Schweißverfahren, wurde zwecks Optimierung des Produktionsprozesses für Sie interessante Teilthemen festgelegt.

Aus dem physikalischen Gebiet "*Elektrik*" - Untersuchungen zu den Veränderungen des Schweißstromes beim Schweißen großer Längen und eben Möglichkeiten um solche unerwünschten Änderungen durch technische Möglichkeiten (*Stromkonstanter*) auszuschließen.

Im Gebiet "Wärme" werden Möglichkeiten erfragt um Wärme außerhalb der aktuellen Schweißposition in der Schweißmaschine zu minimieren, da diese erhebliche Verluste darstellen.

Aus Gründen der Übersichtlichkeit wird die Arbeit in 3 Teile gegliedert:

1) Elektrik mit:

- Umriß um das Fertigungsverfahren
- physikalische Grundlagen als Längsschnitt zur Schweißnaht (2D- Basis)
- physikalische Grundlagen als räumliches Werkstückes (3D- Basis)
   dabei werden lediglich die systematischen Komponenten (Stoff- const. Kontaktwiderstand) und nicht zufällige (sporadische Öl- Fettschichten, Inhomogenitäten etc.) betrachtet

#### Elektronik mit:

- regel- und steuerbare Elemente der Elektronik (Bauelemente)
- Geräte die die Möglichkeiten der Steuerung des Stromes eröffnen (Überblick)
- Praxis mit der Untersuchung eines Transformators
  - unter den Modi:
    - ungeregelt
    - geregelt
      - spannungsgeregelt
      - stromgeregelt
  - unter der Zeitbais
    - statisch
    - dynamisch

#### Praxisbericht mit:

- Hersteller
- Nutzer

2)

Wärme mit:

- allgemeines zum Begriff Wärme unter dem Gesichtspunkt Verluste
- Möglichkeiten der Beeinflussung des Wärmehaushaltes in der Maschine
- Überprüfung dieser Möglichkeiten

Praxisbericht mit:

Hersteller

3)

Anhang mit:

- Prospekte
- Gerätebeschreibungen
- Adressen
- Tabellen
- Literatur- und Bildquellen
- Europäisches Normenwerk zu den Eckpunkten
  - "Widerstandsschweißen"
  - "Rollennahtschweißen"
- Literaturverzeichnis

Die Abschnitte physikalische Grundlagen und Elektronik sind ausführlich beschrieben, um die anschließenden praktischen Versuche und Ausführungen in den Praxisberichten richtig interpretieren zu können.

Grundlagenwissen ist jedoch für diese Teilgebiete nötig und wird vorausgesetzt.

Die in dieser Arbeit vorkommenden Formeln sind in der Basis aus den zuständigen Werken entnommen und dann nach mathematischen Regeln in entsprechend gebrauchte Gleichungen umgeformt worden.

Dabei wurde einerseits verzichtet auf die Aufgliederung der Zwischenschritte, andererseits konnten so detailspezifische Formeln individuell angepaßt werden.

Trotzalledem kann die hier vorliegende Arbeit nur Vorschläge aufführen. Erst die Produktionspraxis wird dann die Wirksamkeit der vorliegenden Lösungen bestätigen, unterstützen oder gegensprechen.

# **Inhaltsverzeichnis**

		Seite
0.	Vorwort	3
1.	Das Widerstandsrollnahtschweißprinzip	9
1.1	Einführung in das Punkt-, Buckel- und Nahtschweißen	9
1. 1. 1	Grundlagen der Widerstanderwärmung -	
	Joulesche Wärmegleichung	10
1. 1. 2	Einflußgrößen der Widerstandserwärmung	11
1. 1. 3	Zusammenfassung für Punkt-, Buckel- und Nahtschweißen	14
1. 2	Wirkprinzip des Rollennahtschweißens	14
1. 2. 1	Nahtarten	15
1. 2. 2	Arbeitstechnik	16
1. 2. 3	Rollenelektroden	17
1. 2. 4	Fertigungsmittelüberblick	17
1. 2. 4. 1	Nahtschweißgeräte	17
1. 2. 4. 2	Nahtschweißmaschinen	17
1. 2. 5	Werkstoffe und Schweißparameter	20
1. 2. 6	Anwendungsgebiete	20
2.	Elektrotechnische Grundlagen	21
2. 1	2D- Basis	21
2. 1. 1	Allgemeine Randbedingungen	21
2. 1. 2	Gesamtwiderstand im Bereich II	21
2. 1. 3	Gesamtwiderstand im Bereich I	22
2. 1. 4	Stromflußänderung zwischen den Bereichen I und II	23
2. 1. 5	Die Slew- Rate des Stromflusses	23
2. 1. 6	Stromverteilung über die Naht - 2D	23
2. 1. 7	Spannungsverteilung über die Naht - 2D	24
2. 1. 8	Elektrische Leistungen	24
2. 1. 9	Der Korrekturfaktor $\mu$	26
2. 1. 10	Der Korrekturfaktor $\mu^*$	26
2. 1. 11	Der Verteilungsfaktor $\phi$	27
2. 1. 12	Wirksamer Kontaktwiderstand R <sub>2</sub>	28
2. 1. 13	Wirksamer Widerstand R <sub>1</sub> bei Stepnaht	29
2. 1. 14	Die Temperaturabhängigkeit des Widerstandes R <sub>1</sub>	30
2. 2	3D- Basis	31
2. 2. 1	Allgemeines	31
2. 2. 2	Berechnung der Vergleichsschweißstromstärke	32
2. 2. 3	Der Verteilfaktor $\varepsilon_s$	33
2. 2. 4	Berechnung der Schweißstromstärke	34
2. 2. 5	Schweißleistung	34
2. 2. 6	Stromflußänderung zwischen den Bereichen I - II	34
2. 2. 7	Die Slew- Rate des Stromflusses	35
2, 2, 8	Der Korrekturfaktor m*	35

<b>3.</b>	Steuer- und regelbare Elemente	<b>36</b>
3. 1	Einstellbare Getriebe	36
3. 2	Potentiometersteuerung	36
3.3	Relais, Auslöser und Schütze	<b>37</b>
3. 3. 1	Ausführungen von Relais und Auslösern	37
3. 3. 2	Elektrotechnische Angaben zu Relais	38
3. 3. 3	Schütze	38
3. 3. 4	Elektronische Relais	39
3.4	Thyratron (Stromrichterröhre)	<b>40</b>
3.5	Ignitron (Relaisröhre)	42
3.6	Transduktoren	44
3. 6. 1	Aufbau	44
3. 6. 2	Anwendung	45
3.7	Transistoren	46
3. 7. 1	Bipolare Transistoren	46
3. 7. 1. 1	Bipolare Transistoren als Schalter	46
3. 7. 1. 2	Die Arbeitspunkte im Kennlinienfeld	47
3.7.2	Feldeffekttransistoren	48
3. 7. 2. 1	Feldeffekttransistoren als Schalter	48
3.7.2.2	Schaltstufen mit n- oder p- Kanal- MOS-FET	48
3.7.2.3	Schaltstufen in CMOS-Technologie	49
3. 7. 2. 4	Schaltstufen mit VMOS-Leistungstransistoren	51
3.8	Thyristoren	51
3. 8. 1	Rückwärtsperrende Thyristortriode (Thyristor)	52
3. 8. 2	GTO- Thyristor (Abschaltthyristortriode)	53
3. 8. 3	PUT- Thyristor (Thyristortetrode)	54
3. 8. 4	Vierschichtdiode (rückwärtssperrende Thyristordiode)	54
3.9	Triac (Zweirichtungs- Thyristortriode)	<b>56</b>
3. 10	Diac (Zweirichtungs- Thyristordiode)	57
3. 11	Vergleich der steuer- und regelbaren Elemente	58
4.	Steuer- und Regelgeräte	59
4. 1	Analogschalter mit Feldeffekttransistoren	<b>59</b>
4. 2	Thyristoren	60
4. 2. 1	Prinzip der Gleichstromzündung	60
4. 2. 2	Prinzip der Wechselstromzündung	61
4. 2. 3	Prinzip der Impulszündung	61
4. 2. 4	Phasenanschnittsteuerung	62
4. 2. 5. 1	Thyristor mit vorgeschalteter Diodenbrücke - Last an Wechselstrom	63
4. 2. 5. 2	Thyristor mit vorgeschalteter Diodenbrücke - Last an Gleichstrom	63
4. 2. 5. 3	Antiparallelschaltung	64
4.3	Triacs - Anwendung von Diac und Triac als Phasenanschnittsteuerung	ng 66
4. 3. 1	Wirkungsweise	66
4. 3. 2	Hystereseeffekt	66

<b>5.</b>	Praktische Austestung eines Transformators	68
<b>5. 1.</b>	Allgemeine Angaben zum Transformator	68
5. 2	Versuche	69
5. 2. 1	Versuch 1	69
5. 2. 2	Versuch 2	72
5. 2. 3	Versuch 3	<b>74</b>
5. 2. 4	Versuch 4	<b>76</b>
5. 2. 5	Versuch 5	<b>78</b>
5. 2. 6	Versuch 6	80
5. 2. 7	Gesamtauswertung	82
6.	Technischer Stand von Konstantstromreglern für Widersta	ands-
	schweißmaschinen	83
6. 1	Gütesicherung bei Widerstandsschweißverbindungen mit I	Hilfe
	der Stromregelung	83
6. 1. 1	Allgemeines	83
6. 1. 2	Betriebszustände der Stromkonstantregelung	91
6. 1. 3	Regelung mit anderen Größen	93
6. 1. 4	Anhang zum Gliederungspunkt	94
6. 2	Beispiel eines Stromreglers für das	
	Widerstandsschweißverfahren von Harms + Wende	98
6. 2. 1	Schweißsteuerungen mit Regelung und Grenzwertüberrwachung	98
6. 2. 2	Beschreibung der Steuerstufe für Widerstandsschweißen MPS15043	98
7.	Wärme im Sekundärkreis	99
7. 1.	Entstehung	99
7. 2.	Physikalische Struktur der Sekundärimpedanz	99
7.3	Elimination der induktiven Last	100
7.3.1	Theoretische Bedingungen	100
7.3.2	Praktische Bedeutung	101
7. 3. 2. 1	Sinusförmige Wellenform	101
7. 3. 2. 2	Rechteckförmige Wellenform	102
7.3.3	Leistungsbilanz	103
7. 4	Schweißstromquellen unter dem Gesichtspunkt der	
	Verlusteminimierung	104
<b>7. 4. 1</b>	Stromart	104
<b>7. 4. 1. 1</b>	Gleichstrom	104
7. 4. 1. 2	Mischstrom	104
7. 4. 1. 3	Mittelfrequenter Wechselstrom	104
7. 4. 1. 4	Hochfrequenter Wechselstrom	105
7. 4. 1. 5	Rechteckförmiger Wechselstrom	105
7.5	Wirbelstromverluste - Untersuchung der Minimierung	105
<b>7. 6</b>	Verifizierung des Verhältnisses $P_{wMF}$ / $P_{wLF}$ mittels Versuch	107
<b>7. 6. 1</b>	Versuche	107
7. 6. 1. 1	Versuch 1	107
7. 6. 1. 2	Versuch 2	109
7, 6, 2	Gesamtauswertung	110

8.	Schweißstromquellen mit Rechteckstromcharakteristik von		
	Harms & Wende	111	
9.	Anhang	112	
9.1	Literatur zum Thema	112	
9. 2	Europäisches Normenwerk	119	
9. 2. 1	"Rollennahtschweißen"	119	
9. 2. 2	"Widerstandsschweißen"	122	
9.3	Verwendete Formelzeichen	152	
9. 4	Adressen von Hersteller und Lieferanten	153	
9.5	Tabellen zum im Text auftretende mathematischer Funktionen	156	
9. 5. 1	Funktion:	156	
9. 5. 2	Funktion:	158	
9. 5. 3	Funktion:	160	
9. 5. 4	Funktion:	163	
9.6	Verzeichnis zitierter Literatur	166	
9. 7	Bildquellenverzeichnis	168	
10.	Selbständigkeitsverzeichnis	171	
11.	Prospektmaterial	172	

# Untersuchung der Besonderheiten beim Rollennahtschweißen großer Längen

2D- Elektro – Teil I

Dipl.- Ing. Björnstjerne Zindler, M.Sc. www.Zenithpoint.de

Erstellt: 23. März 1996 – Letzte Revision: 27. Oktober 2017

#### **Inhaltsverzeichnis**

1 2D- Modell - I, Auszug

2

#### Literatur

[002] Dipl.- Ing. Björnstjerne Zindler, M.Sc., Untersuchung der Besonderheiten beim Rollennahtschweißen großer Längen, Diplomarbeit, 1996.

## 1 2D- Modell - I, Auszug

#### Allgemeine Randbedingungen

Zugrunde liegendes Modell:

[002]

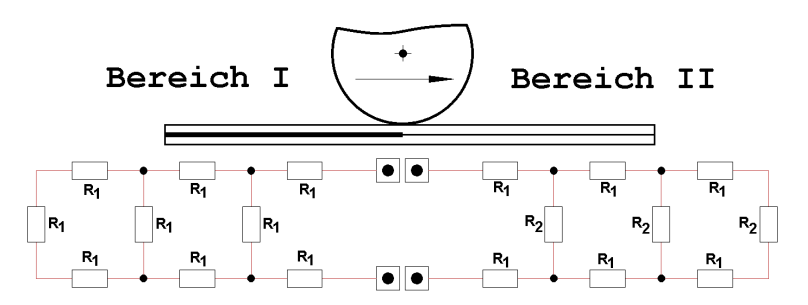


Bild 2.1: Bereichseinteilung beim Rollnahtschweißen.

Randbedingungen:

$$U = \text{const.}$$
  $R_1 = \text{const.}$   $R_2 = \text{const.}$ 

Dabei sind:

$$R_1 = Stoffwiderstand$$

 $R_2 = Kontaktwiderstand$ 

**Bereich I**: Naht ist gesetzt als sehr lange durchgehende Naht, betrachtet als Einzelwiderstände sehr großer, aber begrenzter Anzahl.

**Bereich II**: Stoff- und Kontaktwiderstand als langer durchgehender Streifen, betrachtet als Einzelwiderstände sehr großer, aber begrenzter Anzahl.

#### Gesamtwiderstand im Bereich II

• einstufiges Ersatzschaltbild:

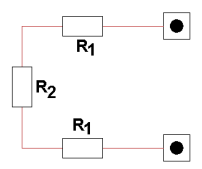


Bild 2.2: Ersatzschaltbild 1. Ordnung

 $\Rightarrow$ 

$$\sum R_{II}^{(1)} = 2 \cdot R_1 + R_2$$

• zweistufiges Ersatzschaltbild:

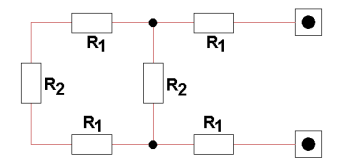


Bild 2.3: Ersatzschaltbild 3. Ordnung

 $\Rightarrow$ 

$$\sum R_{II}^{(3)} = 2 \cdot R_1 + (2 \cdot R_1 + R_2) \| R_2$$

 $\Rightarrow$ 

$$\sum R_{II}^{(3)} = 2 \cdot R_1 + \sum R_{II}^{(1)} \| R_2$$

• dreistufiges Ersatzschaltbild:

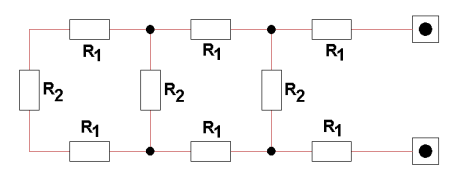


Bild 2.4: Ersatzschaltbild 5. Ordnung

 $\Rightarrow$ 

$$\sum_{II} R_{II}^{(5)} = (2 \cdot R_1 + (2 \cdot R_1 + R_2) \| R_2) \| R_2 + 2 \cdot R_1$$

 $\Rightarrow$ 

$$\sum R_{II}^{(5)} = 2 \cdot R_1 + \sum R_{II}^{(3)} \| R_2$$

• n- stufiges Ersatzschaltbild

$$\sum R_{II}^{(2\cdot n+1)} = 2 \cdot R_1 + \sum R_{II}^{(2\cdot n-1)} \| R_2$$

Für große n gilt ansatzweise  $2 \cdot n + 1 \to 2n \leftarrow 2n - 1$ . Das entspricht einem Abbruch der Reihenentwicklung:

$$\sum R_{II}^{(2 \cdot n)} = 2 \cdot R_1 + \sum R_{II}^{(2 \cdot n)} \| R_2$$

Dieser Ausdruck ist dann analytisch für  $\sum R_{II}^{(2\cdot n)}$ darstellbar.

$$\sum R_{II}^{(2 \cdot n)} = 2 \cdot R_1 + \frac{1}{\frac{1}{\sum R_{II}^{(2 \cdot n)}} + \frac{1}{R_2}} = 2 \cdot R_1 + \frac{R_2 \cdot \sum R_{II}^{(2 \cdot n)}}{R_2 + \sum R_{II}^{(2 \cdot n)}}$$

$$\Rightarrow \sum R_{II}^{(2 \cdot n)} \cdot \left(R_2 + \sum R_{II}^{(2 \cdot n)}\right) = 2 \cdot R_1 \cdot \left(R_2 + \sum R_{II}^{(2 \cdot n)}\right) + R_2 \cdot \sum R_{II}^{(2 \cdot n)}$$

$$\Rightarrow \sum R_{II}^{(2 \cdot n)} \cdot \sum R_{II}^{(2 \cdot n)} - 2 \cdot R_1 \cdot \sum R_{II}^{(2 \cdot n)} - 2 \cdot R_1 \cdot R_2 = 0$$

$$\Rightarrow \sum R_{II}^{(2 \cdot n)} = R_{II} = R_1 \cdot \left(1 + \sqrt{1 + 2 \cdot \frac{R_2}{R_1}}\right)$$

#### Gesamtwiderstand im Bereich I

Da hier  $R_1 = R_2$  gilt, kann vereinfacht werden:

$$\sum R_I^{(2\cdot n)} = R_I = R_1 \cdot \left(1 + \sqrt{3}\right)$$

#### Widerstand in der Schweißlinse

Der resultierende Widerstand der gesamten Schweißnaht großer Länge L und vernachlässigbarer Breite t mit L >> t und  $t \to 0$  setzt sich zusammen aus  $R_I$  und  $R_{II}$ . Ergebnis ist der Widerstand  $R_{III}$  direkt in der Schweißlinse.

$$R_{III} = \frac{1}{\frac{1}{R_I} + \frac{1}{R_{II}}} = \frac{R_I \cdot R_{II}}{R_I + R_{II}}$$

 $\Rightarrow$ 

$$R_{III} = R_1 \cdot \mu$$

Mit:

$$\mu = \frac{\left(1 + \sqrt{3}\right) \cdot \left(1 + \sqrt{1 + 2 \cdot \psi}\right)}{2 + \sqrt{3} + \sqrt{1 + 2 \cdot \psi}}$$

Wobei für  $\psi=R_2/R_1$  gilt und  $\mu$  einen Korrekturfaktor darstellt. Dieser soll grafisch dargestellt werden.

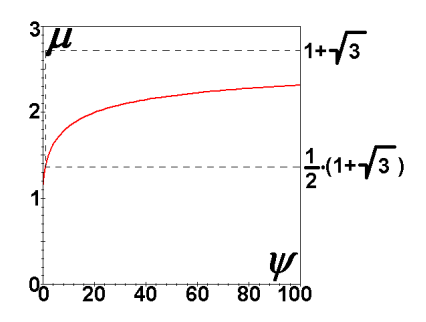


Bild 2.5: Der Korrekturfaktor  $\mu$  grafisch dargestellt.

Die Grenzwerte  $\lim_{\psi \to +1} \mu = \frac{1}{2} \cdot \left(1+\sqrt{3}\right) \approx 1,366$  und  $\lim_{\psi \to +\infty} \mu = 1+\sqrt{3} \approx 2,732$  sowie  $\psi > 1$  schränken den praktisch nutzbaren Bereich ein.

angle angle

# Untersuchung der Besonderheiten beim Rollennahtschweißen großer Längen

# 2D- Elektro – Teil II

Dipl.- Ing. Björnstjerne Zindler, M.Sc. www.Zenithpoint.de

Erstellt: 23. März 1996 – Letzte Revision: 27. Oktober 2017

#### **Inhaltsverzeichnis**

1 2D- Modell - II, Auszug

2

#### Literatur

[002] Dipl.- Ing. Björnstjerne Zindler, M.Sc., Untersuchung der Besonderheiten beim Rollennahtschweißen großer Längen, Diplomarbeit, 1996.

### 1 2D- Modell - II , Auszug

#### Stromflussänderung zwischen den Bereichen I und II

Der Stromfluss ändert sich während des Schweißvorganges zwischen den Randwerten "Bleche vollständig Bereich I" und "Bleche vollständig Bereich II".

$$\Delta I = \frac{U}{R_I} - \frac{U}{R_{II}}$$

 $\Rightarrow$ 

[002]

$$\Delta I = U \cdot \frac{R_{II} - R_I}{R_I \cdot R_{II}}$$

Eingesetzt und aufgelöst ergibt sich:

$$\Delta I = \frac{U}{R_1} \cdot \mu^{\bullet}$$

Mit:

$$\mu^{\bullet} = \frac{\sqrt{1+2\cdot\psi} - \sqrt{3}}{\left(1+\sqrt{3}\right)\cdot\left(1+\sqrt{1+2\cdot\psi}\right)}$$

Wobei  $\mu^{\bullet}$  einen Korrekturfaktor darstellt, welcher im folgenden Abschnitt betrachtet wird.

#### Der Korrekturfaktor $\mu^{\bullet}$

Dieser Wert besitzt den Ausdruck:

$$\mu^{\bullet} = \frac{\sqrt{1+2\cdot\psi} - \sqrt{3}}{\left(1+\sqrt{3}\right)\cdot\left(1+\sqrt{1+2\cdot\psi}\right)}$$

Grafisch veranschaulicht erkennt man, dass das Verhältnis  $R_2/R_1$  wesentlich den Wert  $\Delta I$  beeinflusst.

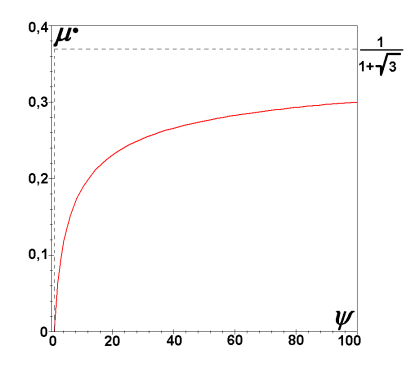


Bild 2.7: Der Korrekturfaktor  $\mu^{\bullet}$ .

Die Grenzwerte  $\lim_{\psi \to +1} \mu^{\bullet} = 0$  und  $\lim_{\psi \to +\infty} \mu^{\bullet} = \frac{1}{1+\sqrt{3}} \approx 0,366$  sowie  $\psi > 1$  schränken den praktisch nutzbaren Bereich ein.

angle angle

# Untersuchung der Besonderheiten beim Rollennahtschweißen großer Längen 2D-Leistung

Dipl.- Ing. Björnstjerne Zindler, M.Sc. www.Zenithpoint.de

Erstellt: 23. März 1996 – Letzte Revision: 25. November 2017

#### **Inhaltsverzeichnis**

1 2D- Leistung, Auszug

2

#### Literatur

[002] Dipl.- Ing. Björnstjerne Zindler, M.Sc., Untersuchung der Besonderheiten beim Rollennahtschweißen großer Längen, Diplomarbeit, 1996.

## 1 2D- Leistung, Auszug

#### Berechnung der Schweißleistung, 2D

Wird vorerst im Bereich II durchgeführt.

• einstufiges Ersatzschaltbild:

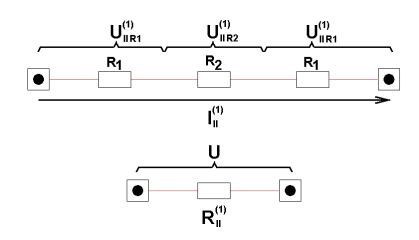


Bild X.X: Ersatzschaltbild 1. Ordnung

Strom durch  $R_{II}^{(1)}$ :

[002]

$$I_{II}^{(1)} = \frac{1}{R_{II}^{(1)}} \cdot U$$

Spannung an  $R_2$ :

$$U_{II;R_2}^{(1)} = \frac{R_2}{R_{II}^{(1)}} \cdot U$$

Leistung an  $R_2$ :

$$P_{II;R_2}^{(1)} = \frac{R_2}{R_{II}^{(1)^2}} \cdot U^2$$

#### • zweistufiges Ersatzschaltbild:

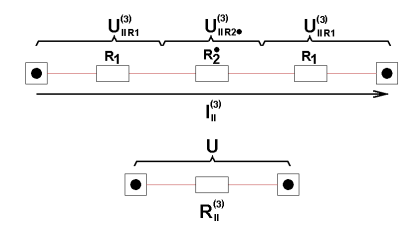


Bild X.X: Ersatzschaltbild 3. Ordnung

Strom durch  $R_{II}^{(3)}$ :

$$I_{II}^{(3)} = \frac{1}{R_{II}^{(3)}} \cdot U$$

Spannung an  $R_2^{\bullet}$ :

$$U_{II;R_2}^{(3)} = \frac{R_2^{\bullet}}{R_{II}^{(3)}} \cdot U$$

Leistung an  $R_2^{\bullet}$ :

$$P_{II;R_2}^{(3)} = \frac{R_2^{\bullet}}{R_{II}^{(3)^2}} \cdot U^2$$

Mit:

$$R_2^{\bullet} = (R_2 + 2 \cdot R_1) \| R_2 = R_{II}^{(3)} - 2 \cdot R_1$$

#### • dreistufiges Ersatzschaltbild:

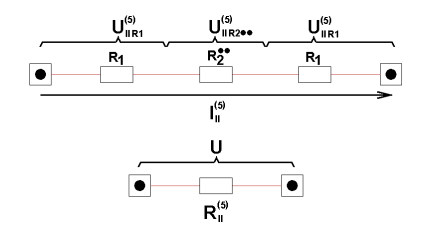


Bild X.X: Ersatzschaltbild 5. Ordnung

Strom durch  $R_{II}^{(5)}$ :

$$I_{II}^{(5)} = \frac{1}{R_{II}^{(5)}} \cdot U$$

Spannung an  $R_2^{\bullet \bullet}$ :

$$U_{II;R_2}^{(5)} = \frac{R_2^{\bullet \bullet}}{R_{II}^{(5)}} \cdot U$$

Leistung an  $R_2^{\bullet \bullet}$ :

$$P_{II;R_2}^{(5)} = \frac{R_{II}^{\bullet \bullet}}{R_{II}^{(5)^2}} \cdot U^2$$

Mit:

$$R_2^{\bullet \bullet} = (2 \cdot R_1 + (2 \cdot R_1 + R_2) \| R_2) \| R_2 = R_{II}^{(5)} - 2 \cdot R_1$$

#### • n- stufiges Ersatzschaltbild

Strom durch  $R_{II}^{(n)}$ :

$$I_{II}^{(n)} = \frac{1}{R_{II}^{(n)}} \cdot U$$

 $\Rightarrow$ 

$$I_{II} = \frac{1}{R_{II}} \cdot U$$

Spannung an  $R_2^{\bullet \cdots \bullet}$ :

$$U_{II;R_2}^{(n)} = \frac{R_{II}^{(n)} - 2 \cdot R_1}{R_{II}^{(n)}} \cdot U$$

 $\Rightarrow$ 

$$U_{II;R_2} = \left(1 - 2 \cdot \frac{R_1}{R_{II}}\right) \cdot U$$

Leistung an  $R_2^{\bullet \cdots \bullet}$ :

$$P_{II;R_2}^{(n)} = P_S = \frac{R_{II}^{(n)} - 2 \cdot R_1}{R_{II}^{(n)^2}} \cdot U^2$$

 $\Rightarrow$ 

$$P_{II;R_2} = P_S = \frac{R_{II} - 2 \cdot R_1}{R_{II}^2} \cdot U^2$$

#### Bilanzen in $R_{II}$

Die Schweißleistung  $P_S$  setzt sich zusammen aus der Gesamtleistung  $P_G$ 

$$P_G = \frac{1}{R_{II}} \cdot U^2$$

abzüglich der Verlustleistung  $P_V$  infolge ohmscher Lasten im Grundwerkstoff.

$$P_V = 2 \cdot \frac{R_1}{R_{II}^2} \cdot U^2$$

Für  $R_{II}$  ist eine Berechnungsgrundlage vorhanden.

$$R_{II} = R_1 \cdot \left(1 + \sqrt{1 + 2 \cdot \psi}\right)$$

Die Leistungen grafisch dargestellt mit  $R_1 = U = 1$ :

$$P_G \propto \frac{1}{\sqrt{1+2\cdot\psi}+1}$$
  $P_S \propto \frac{\sqrt{1+2\cdot\psi}-1}{\left(\sqrt{1+2\cdot\psi}+1\right)^2}$   $P_V \propto \frac{2}{\left(\sqrt{1+2\cdot\psi}+1\right)^2}$ 

 $\Rightarrow$ 

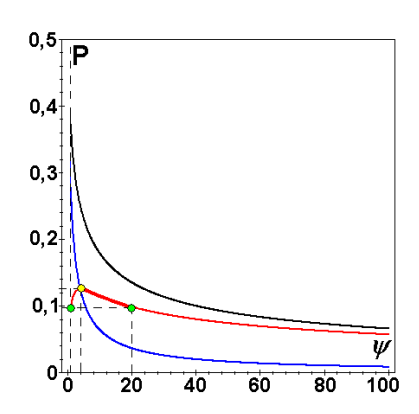


Bild X.X: Leistungsbilanz des Schweißvorganges in  ${\cal R}_{II}.$ 

Der untere Wert von  $\psi$  mit  $\psi \geq 1$  begrenzt den praktisch nutzbaren Bereich.

Der Ausdruck für die Schweißleistung  $P_S$  besitzt ein Maximum bei  $\psi=4$  abszissenunabhängig von allen physikalischen Größen. Der Betrag des Maximum selbst ist gleich mit der Verlustleistung  $P_V$  und beträgt:

$$P_{S,MAX} = P_{S;\psi=4} = P_{V;\psi=4} = \frac{1}{8} \cdot \frac{U^2}{R_1}$$

Für ein  $\psi = 1$  treten folgende Werte auf.

$$P_{S;\psi=1} = \frac{\sqrt{3} - 1}{\left(\sqrt{3} + 1\right)^2} \cdot \frac{U^2}{R_1} \approx 0,0981 \cdot \frac{U^2}{R_1} \qquad P_{V;\psi=1} = \frac{2}{\left(\sqrt{3} + 1\right)^2} \cdot \frac{U^2}{R_1} \approx 0,2679 \cdot \frac{U^2}{R_1}$$

Ein Verhältnis  $\zeta_{II}$  ist definierbar.

$$\zeta_{II;\psi=1} = \frac{P_{V;\psi=1}}{P_{S;\psi=1}} = \frac{2}{\sqrt{3}-1} \approx 2,732$$

Die allgemeine Darstellung von  $\zeta_{II}$  ist berechenbar mit:

$$\zeta_{II} = \frac{2}{\sqrt{1 + 2 \cdot \psi} - 1}$$

Der Ausdruck  $\zeta_{II}$  ist ein Bilanz- und weiterer Korrekturfaktor.

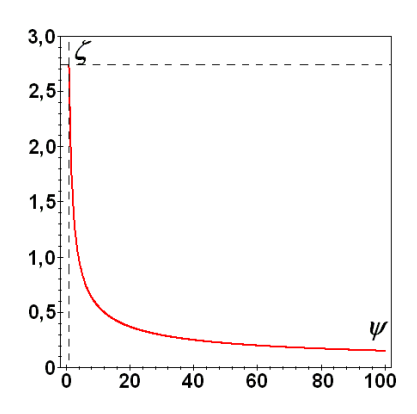


Bild X.X: Der Korrekturfaktor  $\zeta_{II}$  grafisch dargestellt.

Die Grenzwerte  $\lim_{\psi \to +1} \zeta_{II} = \frac{2}{\sqrt{3}-1} = 2,732$  und  $\lim_{\psi \to +\infty} \zeta_{II} = 0$  begrenzen den praktisch nutzbaren Bereich.

Der Wert  $P_S=\frac{\sqrt{3}-1}{\left(\sqrt{3}+1\right)^2}\approx 0,0981$  tritt zweimal auf der Schweißleistungsfunktion auf, so bei :

$$\psi = 1 \qquad \qquad \text{und} \qquad \qquad \psi = 10 + 6 \cdot \sqrt{3} \approx 20,392$$

 $\Rightarrow$ 

$$\zeta_{II;\psi=1}=2,732=\zeta_{II;\psi=10+6\cdot\sqrt{3}}^{-1} \qquad \qquad \zeta_{II;\psi=10+6\cdot\sqrt{3}}=0,366=\zeta_{II;\psi=1}^{-1}$$

Der Bereich

$$4 \le \psi \le 10 + 6 \cdot \sqrt{3} \approx 20,392$$

ist für das Schweißen besonders ökonomisch, da die Verlustleistung  $P_V$  kleiner als die Schweißleistung  $P_S$ , gleichzeitig größer als  $P_{S;\psi=1}$  ist.

#### Bilanzen in $R_{III}$

Für das n- stufiges Ersatzschaltbild gilt:

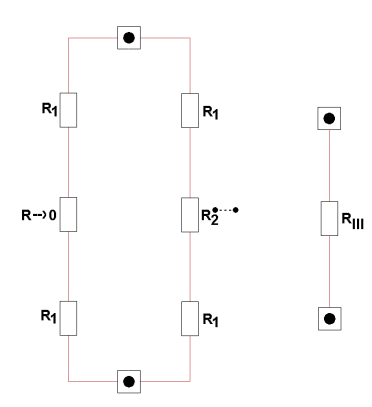


Bild X.X: Ersatzschaltbild als Zusammenhang von  $R_{III}$  und  $R_{II}$ .

Für  $R_{III}$  gilt dementsprechend:

$$R_{III} = \frac{1}{\frac{1}{2 \cdot R_1} + \frac{1}{2 \cdot R_1 + R_2^{\bullet \cdots \bullet}}}$$

 $\Rightarrow$ 

$$R_{III} = R_1 \cdot \frac{4 \cdot R_1 + 2 \cdot R_2^{\bullet \cdots \bullet}}{4 \cdot R_1 + R_2^{\bullet \cdots \bullet}}$$

Mit  $R_2^{\bullet \cdots \bullet} = R_{II} - 2 \cdot R_1$  ergibt sich für obigen Ausdruck:

$$R_{III} = R_1 \cdot \frac{2 \cdot R_{II}}{2 \cdot R_1 + R_{II}}$$

Der Term  $R_{III}$  ist substituierbar:

$$R_{III} = R_1 \cdot \mu$$

 $\Rightarrow$ 

$$\mu = \frac{2 \cdot R_{II}}{2 \cdot R_1 + R_{II}}$$

 $\Rightarrow$ 

$$R_{III} = R_{II} \cdot \frac{2 - \mu}{2}$$

Für die praktische Grenze von  $R_{III}>0$  ist ein  $\mu<2$  erforderlich. Dieser Wert impliziert für  $\psi$  ein:

$$\psi < 10 + 6 \cdot \sqrt{3} \approx 20,392$$

Oberhalb dieses Wertes, ist kein Schweißen (mehr) möglich.

Die Leistungen ändern sich entsprechend.

$$P_G = \frac{2 - \mu}{2 \cdot \mu} \cdot U^2 \qquad P_S = \frac{(2 - \mu) \cdot (\mu + \mu \cdot R_1 - 2 \cdot R_1)}{2 \cdot \mu^2} \cdot U^2 \qquad P_V = R_1 \cdot \frac{(2 - \mu)^2}{2 \cdot \mu^2} \cdot U^2$$

Mit  $R_1 = U = 1$ :

$$P_G \propto \frac{2-\mu}{2\cdot\mu}$$
  $P_S \propto \frac{(2-\mu)\cdot(\mu-1)}{\mu^2}$   $P_V \propto \frac{(2-\mu)^2}{2\cdot\mu^2}$ 

Der Korrekturfaktor  $\mu$  kann substituiert werden. Damit sind die Leistungen grafisch darstellbar.

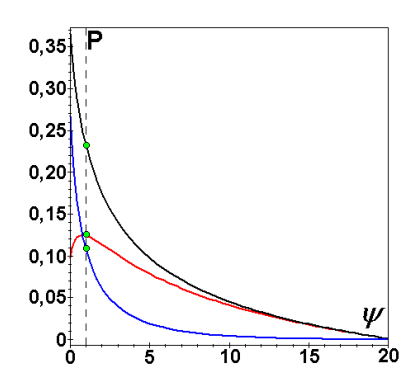


Bild X.X: Leistungsbilanz des Schweißvorganges in  $R_{III}$ .

Der Wert von  $\psi$  mit  $1 \le \psi \le 10 + 6 \cdot \sqrt{3} \approx 20,4$  begrenzt den praktisch nutzbaren Bereich. Außerhalb dessen liegt für diesen Fall das Maximum von  $P_S$ .

$$\psi^* = \frac{4}{169} \cdot \left( 14 \cdot \sqrt{3} + 9 \right) \approx 0,787$$

$$P_{G;\psi^*} = \frac{1}{4} \cdot \frac{U^2}{R_1}$$

$$P_{G;\psi^*} = \frac{1}{4} \cdot \frac{U^2}{R_1} \qquad \qquad P_{S;MAX} = P_{S;\psi^*} = \frac{1}{8} \cdot \frac{U^2}{R_1} \qquad \qquad P_{V;\psi^*} = \frac{1}{8} \cdot \frac{U^2}{R_1}$$

$$P_{V;\psi^*} = \frac{1}{8} \cdot \frac{U^2}{R_1}$$

Für ein  $\psi = 1$  ergeben sich folgende Werte:

$$P_{G;\psi=1} = 0,232 \cdot \frac{U^2}{R_1} \qquad \qquad P_{S;\psi=1} = 0,124 \cdot \frac{U^2}{R_1} \qquad \qquad P_{V;\psi=1} = 0,108 \cdot \frac{U^2}{R_1}$$

$$P_{S;\psi=1} = 0,124 \cdot \frac{U^2}{R_1}$$

$$P_{V;\psi=1} = 0.108 \cdot \frac{U^2}{R_1}$$

Für  $\zeta_{III}$  dann:

$$\zeta_{III} = \frac{1}{2} \cdot \frac{2 - \mu}{\mu - 1}$$

$$\zeta_{III;\psi=1} = \frac{1}{2} \cdot \sqrt{3} \approx 0,866$$

$$\zeta_{III;\psi=10+6\cdot\sqrt{3}}=0$$

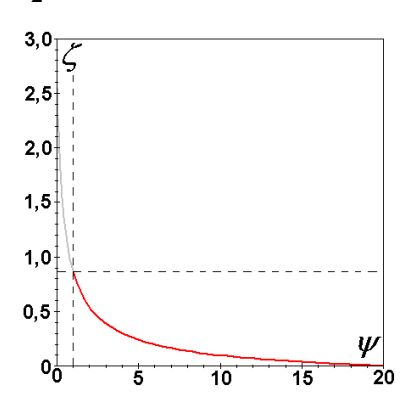


Bild X.X: Der Korrekturfaktor  $\zeta_{III}$  grafisch dargestellt.

# Untersuchung der Besonderheiten beim Rollennahtschweißen großer Längen

3D- Elektro – Teil I

Dipl.- Ing. Björnstjerne Zindler, M.Sc. www.Zenithpoint.de

Erstellt: 23. März 1996 – Letzte Revision: 24. November 2017

#### **Inhaltsverzeichnis**

1 3DElektro - I, Auszug

2

#### Literatur

[002] Dipl.- Ing. Björnstjerne Zindler, M.Sc., Untersuchung der Besonderheiten beim Rollennahtschweißen großer Längen, Diplomarbeit, 1996.

## 1 3DElektro - I, Auszug

#### **Transformation**

[002]

Für die Transformation des 2D- Modells in 3D wird folgende Grundlage angewandt.

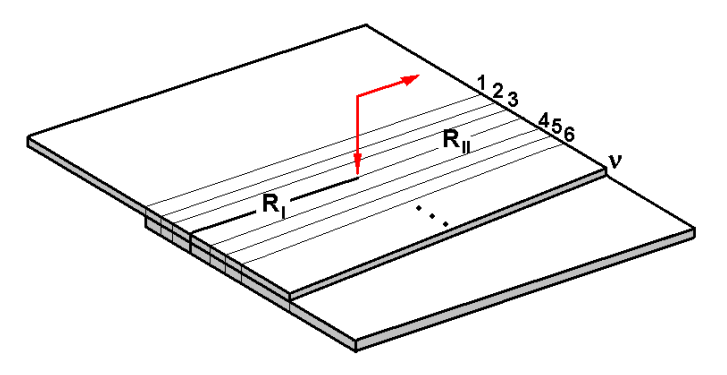


Bild X.X: Zur Transformation von 2D zu 3D.

$$R_{III}^{(3D)} \begin{cases} = R_{I} \| R_{II} \| R_{II}^{(1)} \| R_{II}^{(2)} \| \cdots \| R_{II}^{[\nu]} \\ = R_{III} \| R_{II}^{(1)} \| R_{II}^{(2)} \| \cdots \| R_{II}^{[\nu]} \end{cases}$$

$$\Rightarrow \qquad R_{III}^{(3D)} = \frac{1}{\frac{1}{R_{I}} + \frac{\nu+1}{R_{II}}} = \frac{1}{\frac{1}{R_{III}} + \frac{\nu}{R_{II}}}$$

$$\Rightarrow \qquad R_{III}^{(3D)} = \frac{R_{II} \cdot R_{III}}{R_{III} + \nu \cdot R_{III}} = \frac{R_{I} \cdot R_{II}}{(\nu + 1) \cdot R_{I} + R_{II}}$$
Mit:
$$R_{I} = R_{1} \cdot (1 + \sqrt{3})$$

$$R_{III} = R_{1} \cdot (1 + \sqrt{1 + 2 \cdot \psi})$$

$$R_{III} = R_{1} \cdot \mu$$
Mit:
$$\mu = \frac{(1 + \sqrt{3}) \cdot (1 + \sqrt{1 + 2 \cdot \psi})}{2 + \sqrt{3} + \sqrt{1 + 2 \cdot \psi}}$$
Ergibt sich:
$$R_{III}^{(3D)} = R_{1} \cdot \frac{(1 + \sqrt{3}) \cdot (1 + \sqrt{1 + 2 \cdot \psi})}{(1 + \nu) \cdot (1 + \sqrt{3}) + 1 + \sqrt{1 + 2 \cdot \psi}}$$

Damit ist ein Kennlinienfeld grafisch darstellbar.

#### Grafische Darstellung des Kennlinienfeldes

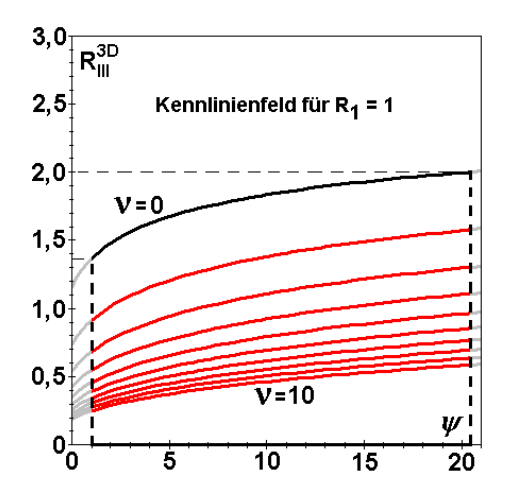


Bild X.X: Das Kennlinienfeld für  $R_{III}^{(3D)}$ .

Mit den praktischen Grenzen:

$$1 \le \psi < 10 + 6 \cdot \sqrt{3} \approx 20, 4$$

Und:

 $\Rightarrow$ 

 $\Rightarrow$ 

$$R_{1} \cdot \lim_{\nu \to \infty} \frac{\left(1 + \sqrt{3}\right) \cdot \left(1 + \sqrt{1 + 2 \cdot \psi}\right)}{\left(1 + \nu\right) \cdot \left(1 + \sqrt{3}\right) + 1 + \sqrt{1 + 2 \cdot \psi}}$$

$$< R_{III}^{(3D)} \le$$

$$R_{1} \cdot \lim_{\nu \to 0} \frac{\left(1 + \sqrt{3}\right) \cdot \left(1 + \sqrt{1 + 2 \cdot \psi}\right)}{\left(1 + \nu\right) \cdot \left(1 + \sqrt{3}\right) + 1 + \sqrt{1 + 2 \cdot \psi}}$$

$$0 < R_{III}^{(3D)} \le R_{1} \cdot \frac{\left(1 + \sqrt{3}\right) \cdot \left(1 + \sqrt{1 + 2 \cdot \psi}\right)}{2 + \sqrt{3} + \sqrt{1 + 2 \cdot \psi}}$$

$$0 < R_{III}^{(3D)} \le R_{1} \cdot \left\{\begin{array}{c} \lim_{\psi \to +1} \mu \\ \lim_{\psi \to 10 + 6 \cdot \sqrt{3}} \mu \end{array}\right.$$

$$0 < R_{III}^{(3D)} \le R_{1} \cdot \left\{\begin{array}{c} \lim_{\psi \to +1} \mu \\ \lim_{\psi \to 10 + 6 \cdot \sqrt{3}} \mu \end{array}\right.$$

$$0 < R_{III}^{(3D)} \le R_{1} \cdot \left\{\begin{array}{c} \lim_{\psi \to +1} \mu \\ \lim_{\psi \to 10 + 6 \cdot \sqrt{3}} \mu \end{array}\right.$$

 $AT_{F}X 2_{\varepsilon}$ 

# Untersuchung der Besonderheiten beim Rollennahtschweißen großer Längen

3D- Elektro – Teil II

Dipl.- Ing. Björnstjerne Zindler, M.Sc. www.Zenithpoint.de

Erstellt: 23. März 1996 – Letzte Revision: 2. November 2017

#### **Inhaltsverzeichnis**

1 3DElektro - II, Auszug

2

#### Literatur

[002] Dipl.- Ing. Björnstjerne Zindler, M.Sc., Untersuchung der Besonderheiten beim Rollennahtschweißen großer Längen, Diplomarbeit, 1996.

# 1 3DElektro - II, Auszug

#### Anfangswiderstand

[002]

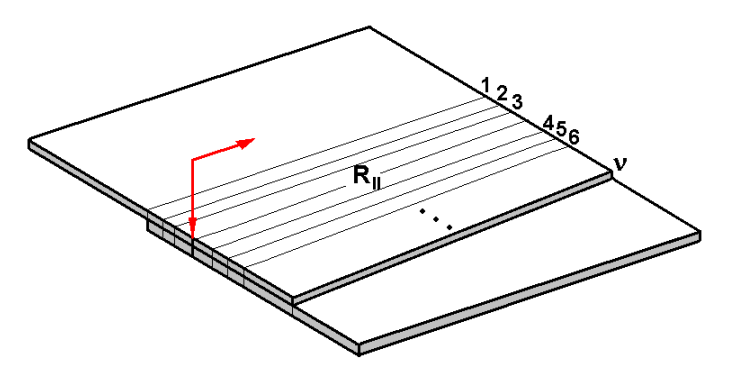


Bild X.X: Modellzustand am Anfang des Schweißvorganges.

Für den wirksamen Widerstand  $R_{III;A}^{(3D)}$  am Anfang des Schweißprozesses gibt es folgende Berechnungsgrundlage.

$$R_{III;A}^{(3D)} = R_{II} \parallel R_{II;1} \parallel R_{II;2} \parallel R_{II;3} \parallel \cdots \parallel R_{II;\nu}$$

 $\Rightarrow$ 

$$R_{III;A}^{(3D)} = \frac{1}{\frac{1}{R_{II}} + \frac{\nu}{R_{II}}}$$

 $\Rightarrow$ 

$$R_{III;A}^{(3D)} = \frac{R_{II}}{\nu + 1}$$

### Endwiderstand

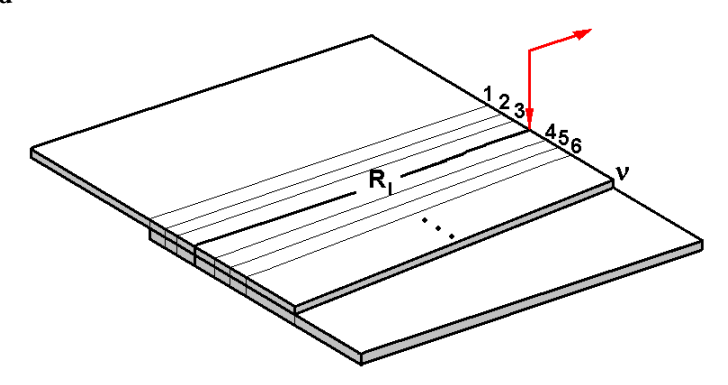


Bild X.X: Modellzustand am Ende des Schweißvorganges.

Der wirksamen Widerstand  $R^{(3D)}_{III;E}$  am Ende des Schweißprozesses ist definiert über:

$$R_{III;E}^{(3D)} = R_I \| R_{II;1} \| R_{II;2} \| R_{II;3} \| \cdots \| R_{II;\nu}$$

 $\Rightarrow$ 

$$R_{III;E}^{(3D)} = \frac{1}{\frac{1}{R_I} + \frac{\nu}{R_{II}}}$$

 $\Rightarrow$ 

$$R_{III;E}^{(3D)} = \frac{R_I \cdot R_{II}}{\nu \cdot R_I + R_{II}}$$

#### Stromflussänderung

Ist berechenbar durch:

ist berechenbar durch: 
$$\Delta I = \frac{U}{R_{III;E}^{(3D)}} - \frac{U}{R_{III;A}^{(3D)}}$$
 
$$\Rightarrow$$
 
$$\Delta I = U \cdot \frac{R_{II} - R_I}{R_{II} \cdot R_I}$$
 
$$\Rightarrow$$
 
$$\Delta I = \frac{U}{R_1} \cdot \mu^{\bullet}$$

Dieser Ausdruck ist gleich der Stromflussänderung aus dem 2D- Modell. Beide Modelle sind für  $\Delta I$ qualitativ gleich.

angleEX 2arepsilon

# Untersuchung der Besonderheiten beim Rollennahtschweißen großer Längen 3D- Leistung

Dipl.- Ing. Björnstjerne Zindler, M.Sc. www.Zenithpoint.de

Erstellt: 23. März 1996 – Letzte Revision: 10. November 2017

#### **Inhaltsverzeichnis**

1 3DLeistung 2

#### Literatur

#### 1 3DLeistung

Die Basis  $\xi$ 

[002]

Aus vorangegangenen Kapiteln ist die Berechnungsgrundlage für  $R_{III}^{(3D)}$  bekannt.

$$R_{III}^{(3D)}\left(\nu;\psi\right) = R_1 \cdot \frac{\left(1+\sqrt{3}\right) \cdot \left(1+\sqrt{1+2\cdot\psi}\right)}{\left(1+\nu\right) \cdot \left(1+\sqrt{3}\right) + 1 + \sqrt{1+2\cdot\psi}}$$

Damit lassen sich zwei benachbarte Werte für  $\nu$  darstellen.

$$R_{III}^{(3D)}(\nu;\psi) = R_1 \cdot \frac{(1+\sqrt{3}) \cdot (1+\sqrt{1+2\cdot\psi})}{(1+\nu) \cdot (1+\sqrt{3}) + 1 + \sqrt{1+2\cdot\psi}}$$

$$R_{III}^{(3D)}(\nu+1;\psi) = R_1 \cdot \frac{(1+\sqrt{3})\cdot(1+\sqrt{1+2\cdot\psi})}{(2+\nu)\cdot(1+\sqrt{3})+1+\sqrt{1+2\cdot\psi}}$$

Ein Verhältnis  $\xi$  ist definiert.

$$\xi = \frac{R_{III}^{(3D)}(\nu; \psi)}{R_{III}^{(3D)}(\nu + 1; \psi)}$$

 $\Rightarrow$ 

$$\xi = \frac{(2+\nu) \cdot (1+\sqrt{3}) + 1 + \sqrt{1+2 \cdot \psi}}{(1+\nu) \cdot (1+\sqrt{3}) + 1 + \sqrt{1+2 \cdot \psi}}$$

Für  $\psi$  ist bekannt:

$$1 \le \psi \le 10 + 6 \cdot \sqrt{3} \approx 20,392$$

Für  $\nu$  ebenfalls:

$$\nu \geq 0$$

Damit besitzt  $\xi$  Grenzwerte.

$$\frac{3}{2} \le \xi \le 1$$

#### Die Leistungsverteilung im Blech

Für den Anfang wird eine einfache Berechnungsgrundlage für die Leistungsverteilung  $P_S^{(3D)}$  im Blech ohne weiteren Beweis angenommen.

$$P_S^{(3D)}(n;\nu,\psi) = P_S \cdot \frac{1}{\xi^{2n}}$$

Dem gegenüber steht eine allgemein anerkannte Gleichung aus der Wärmeleitung zur Verfügung, welche  $P_S^{(3D)}$  entlang eines Bleches mit der Hilfe von hyperbolischen Funktionen beschreibt.

$$\tilde{P}_{S}^{(3D)}\left(\chi;n;n_{MAX}\right) = P_{S} \cdot \frac{\cosh\left(\chi \cdot \left(n_{MAX} - n\right)\right)}{\cosh\left(\chi \cdot n_{MAX}\right)}$$

Nachteil ist, dass dieser Ausdruck eine endliche (Blech)Länge  $n_{MAX}$  a-priori verlangt und ein Korrekturfaktor  $\chi$ . Für diesen steht eine Proportionalität zur Verfügung.

$$\chi \propto \frac{U}{A}$$

Dabei ist U der Umfang senkrecht auf die Ebene der Schweißnaht und A die Stirnfläche der Blechs.

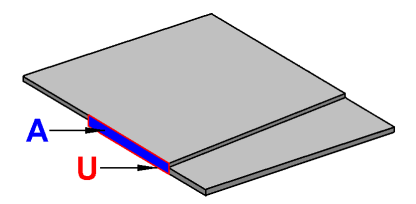


Bild X.X: Zur Verdeutlichung von Umfang und Fläche.

 $\Rightarrow$ 

$$\chi \propto 2 \cdot \frac{D+H}{D \cdot H} = \frac{2}{H} + \frac{2}{D}$$

Wobei für H die Überlappungsbreite steht und für D die Gesamtdicke der sich überlappenden Bleche

Für den Fall, dass H>>D gilt  $\frac{2}{H}<<\frac{2}{D}$  und damit kann H vernachlässigt werden.

$$\chi_{H>>D} \propto \frac{2}{D}$$

D	<i>χH&gt;&gt;D</i>	D	<i>χH&gt;&gt;D</i>
1	2,000	6	0, 333
2	1,000	7	0, 286
3	0, 667	8	0, 250
4	0, 500	9	0, 223
5	0, 400	10	0, 200

Tabelle X.X: Ausgewählte Werte für  $\chi_{H>>D}$  in Abhängigkeit von D.

Aus seiner Definition wird die Einheit des Korrekturfaktors  $\chi$  mit mm<sup>-1</sup> angegeben.

Verbleibt der Term  $\chi \cdot n_{MAX}$ . Dieser gibt die Lokalisierbarkeit der Schweißlinse  $R_{III}$  an. Kleine Werte von  $\chi \cdot n_{MAX}$  ergeben eine breiten Wärmeeintrag. Große Werte einen "scharfen" Punkt für  $R_{III}$ .

Die Einheit von  $\chi \cdot n_{MAX}$ . Da dieser Ausdruck das Argument einer Hyperbelfunktion von  $\tilde{P}_S^{(3D)}$  ist, muss gelten:

$$[\chi] \cdot [n_{MAX}] = [1]$$

 $\Rightarrow$ 

$$\lceil mm^{-1} \rceil \cdot [mm] = [1]$$

Damit ist die Einheit von  $n_{MAX}$  mit mm festgelegt.

#### Bestimmung des Korrekturfaktors $\nu$

Es stehen zwei Berechnungsgrundlagen für den Leistungseintrag beim Schweißen zur Verfügung.

$$P_S^{(3D)}\left(n;\nu,\psi\right) \propto \frac{1}{\xi^{2n}} \qquad \text{und} \qquad \tilde{P}_S^{(3D)}\left(\chi;n;n_{MAX}\right) \propto \frac{\cosh\left(\chi\cdot\left(n_{MAX}-n\right)\right)}{\cosh\left(\chi\cdot n_{MAX}\right)}$$

Mit:

$$\xi = \frac{(2+\nu) \cdot \left(1 + \sqrt{3}\right) + 1 + \sqrt{1 + 2 \cdot \psi}}{(1+\nu) \cdot \left(1 + \sqrt{3}\right) + 1 + \sqrt{1 + 2 \cdot \psi}}$$

Zur Verdeutlichung des weiteren Vorangehens, werden Werte frei gewählt.

$$\nu_{\mathrm{FREI}} = 10$$
  $\psi_{\mathrm{MESSUNG}} = 10$   $n_{MAX} = 20 \mathrm{mm}$   $\chi_{D=4 \mathrm{mm}} = 0,5 \mathrm{mm}^{-1}$ 

 $\Rightarrow$ 

$$\xi = 1,077$$

Diese Werte werden grafisch veranschaulicht.

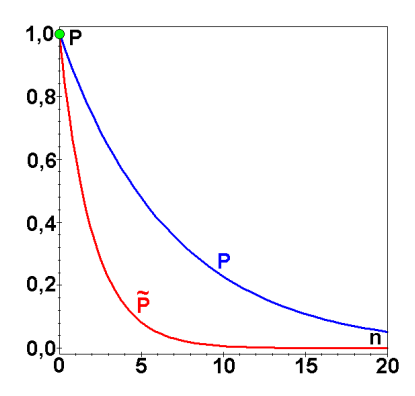


Bild X.X: Die Grafen von  $P_S^{(3D)}$  und  $\tilde{P}_S^{(3D)}$  mit freien Werten veranschaulicht.

Damit beide Grafen minimale Abweichungen voneinander darstellen können, wird folgendes Vorangehen festgelegt:

• Feststellen des Wertes  $n_{MAX}$  an welcher der Leistungseintrag einen bestimmten Wert unterschreiten soll

$$\begin{split} \tilde{P}_{S;MIN}^{(3D)} &= P_S \cdot \frac{\cosh\left(\chi \cdot \left(n_{MAX} - n_{MAX}\right)\right)}{\cosh\left(\chi \cdot n_{MAX}\right)} = P_S \cdot \frac{1}{\cosh\left(\chi \cdot n_{MAX}\right)} \\ n_{MAX} &= \frac{1}{\chi} \cdot \operatorname{arccosh} \frac{P_S}{\tilde{P}_{S:MIN}^{(3D)}} \end{split}$$

Für den Wert  $P_S/\tilde{P}_{S;MIN}^{(3D)}=11.000$ , das heißt, es sind an der Stelle  $n_{MAX}$  nur noch >0,01% Schweißleistung angängig und einem  $\chi=0,5\text{mm}^{-1}$  bei D=4mm ergibt sich ein  $n_{MAX}$  von 20mm.

 Berechnen des Flächenintegrals von  $\tilde{P}_S^{(3D)}$ 

$$\int \tilde{P}_{S}^{(3D)} \propto \int_{0}^{1} \frac{\cosh\left(\chi \cdot (n_{MAX} - n)\right)}{\cosh\left(\chi \cdot n_{MAX}\right)} \cdot dn$$

Da  $n_{MAX}$  und  $\chi$  bekannt sind, ist das Ergebnis eine konkreter Wert.

 $\bullet\,$  Berechnen des Flächenintegrals von  $P_S^{(3D)}$ 

$$\int P_S^{(3D)} \propto \int_0^1 \frac{1}{\xi^{2n}} \cdot dn$$

Da der Wert von  $\nu$  noch unbekannt ist, ergibt sich hier ein analytischer Ausdruck.

ullet Beide Flächenintegrale sind gleichzusetzen und nach  $\psi$  umzustellen.

$$\int \tilde{P}_S^{(3D)} = \int P_S^{(3D)}$$

 $\Rightarrow$ 

$$\psi = A + B \cdot \nu + C \cdot \nu^2$$

Das Ergebnis ist ein Polynom 2. Grades was gelöst werden kann.

$$0 = \frac{A - \psi}{C} + \frac{B}{C} \cdot \nu + \nu^2$$

 $\Rightarrow$ 

$$\nu_{1;2} = -\frac{B}{2 \cdot C} \pm \frac{1}{2 \cdot C} \cdot \sqrt{B^2 - 4 \cdot A \cdot C + 4 \cdot \psi \cdot C}$$

Damit ist v errechnet.

Für vorliegendes Beispiel ergibt sich:

$$\int \tilde{P}_S^{(3D)} \propto \int_0^1 \frac{\cosh(0, 5 \cdot (100 - n))}{\cosh(0, 5 \cdot 100)} \cdot dn = 0,787$$

Sowie:

$$10 = \psi = 16,828 - 16,084 \cdot \nu + 3,732 \cdot \nu^2$$

 $\Rightarrow$ 

$$0 = 1.830 - 4.310 \cdot \nu + \nu^2$$

 $\Rightarrow$ 

$$v_1 = 0,477$$
  $v_2 = 3,832$ 

Die grafische Darstellung des Berechnungsergebnisses von v ergibt die Wahl für v=0,477.

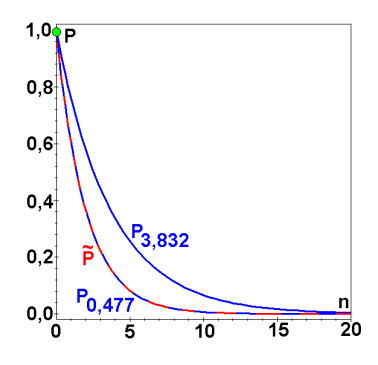


Bild X.X: Das Ergebnis der Berechnung von v.

Mittels geeigneter Technik kann nun das 3D- Abbild generiert und somit der Leistungs- bzw. Wärmeeintrag sichtbar gemacht werden.

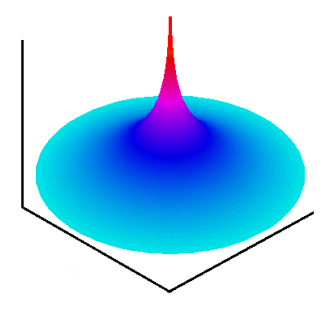


Bild X.X: Die Leistungsverteilung im Schweißpunkt.

Weiterhin kann das vorangehend entwickelte Kennlinienfeld vervollständigt werden für vorliegendes Beispiel.

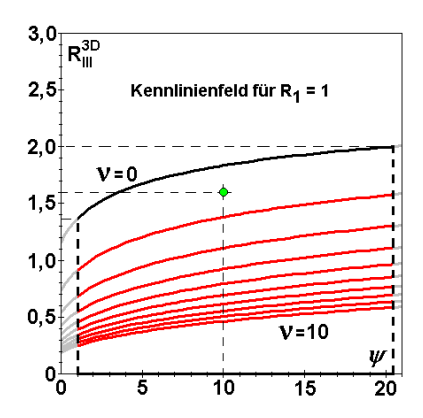


Bild X.X: Das vervollständigte Kennlinienfeld für vorliegendes Beispiel.

# Untersuchung der Besonderheiten beim Rollennahtschweißen großer Längen

3D- Leistung – Wunsch

Dipl.- Ing. Björnstjerne Zindler, M.Sc. www.Zenithpoint.de

Erstellt: 23. März 1996 – Letzte Revision: 24. November 2017

#### **Inhaltsverzeichnis**

1 Ersatzfunktion für  $P_S$  nach Wunsch

2

#### Literatur

#### 1 Ersatzfunktion für $P_S$ nach Wunsch

Professor Gerhard Wunsch beschreibt in Band 2 "Feldtheorie - Elektromagnetische Felder" eine Funktion F, welche die Ermittlung von  $n_{MAX}$  für  $P_S$  unnötig macht. Die Beschreibung zur Berechnung der Verlustleistung, respektive der Wärmeentwicklung in dünnen Blechen lässt sich für vorliegende Aufgabenstellung nutzen unter der Annahme, dass sich nicht die Blechdicke ändert, sondern der betrachtete Abstand zum Schweißpunkt.

$$\tilde{\tilde{P}}_{S}^{(3D)}\left(n;\chi\right)\propto F\left(n;\chi\right)$$

Mit:

$$F\left(n;\chi\right) = 3 \cdot \frac{\chi^2}{n^2} \cdot \frac{\sinh\frac{n^2}{\chi^2} - \sin\frac{n^2}{\chi^2}}{\cosh\frac{n^2}{\chi^2} - \cos\frac{n^2}{\chi^2}}$$

Für eine Abschätzung der Leistungsverteilung ist diese Berechnungsgrundlage ausreichend, sie besitzt jedoch in n=0 eine nichtdefinierte Stelle und für Werte von n<1 ein ungünstiges Abstiegsverhalten. Bei schon im vornherein kleinen Beträgen von  $\nu$  verschiebt sich daher dann  $\nu$  in negative Werte.

Folgendes Vorangehen wird festgelegt.

Berechnung des ersten Flächenintegrals nach Wunsch für ein beliebiges aber genügend großes
 n.

$$\int \tilde{P}_{S}^{(3D)} \propto 3 \cdot \chi^{2} \cdot \int_{0}^{100} \frac{1}{n^{2}} \cdot \frac{\sinh \frac{n^{2}}{\chi^{2}} - \sin \frac{n^{2}}{\chi^{2}}}{\cosh \frac{n^{2}}{\chi^{2}} - \cos \frac{n^{2}}{\chi^{2}}} \cdot dn$$

Da  $\chi$  bekannt ist, wird das Ergebnis ein konkreter Wert sein.

 $\bullet\,$  Berechnung des Flächenintegrals von  $P_S^{(3D)}$  mit den gleichen, obigen Grenzen.

$$\int P_S^{(3D)} \propto \int\limits_0^{100} \frac{1}{\xi^{2n}} \cdot dn$$

Da der Wert von  $\xi$  noch unbekannt ist, wird ein analytischer Wert erwartet.

- Beide Flächenintegrale werden gleichgesetzt und nach  $\xi$  aufgelöst. Der zu erwartende Ausdruck ist eine LambertW- Funktion. Diese ist mit geeigneten Mitteln zu lösen.
- Ein weiterer Schritt wäre das (Neu)Ermitteln von v. Jedoch ist das aus genannten Gründen nicht immer sinnvoll. Die Funktion F nach Wunsch ist nur als Näherung und für die Elimination von  $n_{MAX}$  gedacht.

Für vorliegendes Beispiel ergibt sich:

$$\nu = 0.477$$
  $\psi_{\text{MESSUNG}} = 10$   $\chi_{D=4\text{mm}} = 0.5\text{mm}^{-1}$ 

 $\Rightarrow$ 

$$\xi_{\text{ERWARTET}} = 1,284$$

Das erste Flächenintegral:

$$\int_{0}^{100} \tilde{\tilde{P}}_{S}^{(3D)} = 1,585$$

Das andere Flächenintegral:

$$\int\limits_{0}^{100} P_{S}^{(3D)} = \frac{1 - \xi^{-200}}{2 \cdot \ln \xi}$$

Beides gleichgesetzt und nach  $\xi$  aufgelöst ergibt:

$$\xi = 1,371$$

Mit

$$\xi = \frac{(2+\nu) \cdot (1+\sqrt{3}) + 1 + \sqrt{1+2 \cdot \psi}}{(1+\nu) \cdot (1+\sqrt{3}) + 1 + \sqrt{1+2 \cdot \psi}}$$

kann der Wert von  $\nu$  neu ermittelt werden. Für ein  $\psi=10$  ergibt sich:

$$\nu = -0.348$$

Der Wert ist negativ und so<sup>1</sup> nicht brauchbar. Es wird daher<sup>2</sup> festgelegt:

$$\nu = 0$$

Zum Schluss die grafische Darstellung beider Grafen.

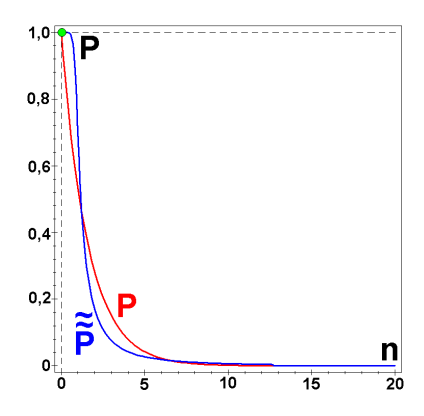


Bild X.X: Die Leistungsverteilungen  $P_S^{(3D)}$  und  $\tilde{\tilde{P}}_S^{(3D)}$  grafisch dargestellt.

Das Kennlinienfeld für die neuen Parameter.

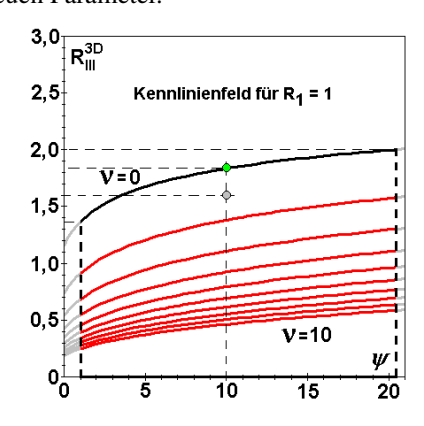


Bild X.X: Das Kennlinienfeld mit den neuen Parametern.

<sup>1...</sup> hier noch ...
2... hier noch ...

1	Ersatzfunktion für $P_S$ nach Wunsch		

# Untersuchung der Besonderheiten beim Rollennahtschweißen großer Längen Impedanz

Dipl.- Ing. Björnstjerne Zindler, M.Sc. www.Zenithpoint.de

Erstellt: 23. März 1996 – Letzte Revision: 16. November 2017

#### **Inhaltsverzeichnis**

1 Impedanz 2

#### Literatur

#### [002]

#### 1 Impedanz

#### 7. Wärme im Sekundärkreis

#### 7. 1 Entstehung

Wärme in der Maschine, speziell im Sekundärkreis, stellt ein Verlust dar, welcher durch vermehrte Energiezufuhr im Primärstromkreis kompensiert werden muss.

Grundsätzlich müssen zwei "Verbraucher" auf der Sekundärseite betrachtet werden:

- Ohmsche Lasten R
- Induktive Lasten  $X_L$

Die ohmsche Last setzt sich aus Stoff- und Kontaktwiderstand zusammen und lassen sich in Größenordnungen gut beherrschen.

Die induktiven Lasten stellen einen unerwünschten Nebeneffekt dar, der schlecht zu beherrschen und zu beschreiben ist. Im Allgemeinen stellt der Sekundärstromkreis eine Spule mit einer Windung, jedoch enormer induktiv wirksamer Fläche dar. Die Ströme und Frequenzen, welche beim Widerstandsschweißen gewöhnlich auftreten, tragen dann zu den Verlusten bei, die nicht mehr zu vernachlässigen sind. Einerseits durch den Mehrverbrauch an elektrischer Energie, andererseits durch die Maßnahmen für die Kühlung bis hin zu Produktionsstillständen in erzwungenen Abkühlpausen der Maschine.

#### 7. 2 Physikalische Struktur der Sekundärimpedanz

Letztendlich fallen die Wärmeverluste an den oben beschriebenen Lasten an. Daher ist es sinnvoll diese kurz physikalisch zu betrachten.

Will man alle relevanten ohmschen und induktiven Lasten zusammenfassen und ein Ersatzschaltbild nutzen, so ergibt sich eine Reihenschaltung beider Lasten.



Bild 7.1: Ersatzschaltbild der Sekundärimpedanz.

Die Berechnungsgrundlage für den effektiv wirksamen Widerstand Z:

$$\underline{Z} = R + j \cdot X_L = R + j \cdot \omega \cdot L$$

 $\Rightarrow$ 

$$Z = \sqrt{R^2 + \left(\omega \cdot L\right)^2}$$

Da der Wert für L hier unbekannt ist, wird er ersetzt.

$$U = L \cdot \frac{dI}{dt}$$

 $\Rightarrow$ 

$$Z = \sqrt{R^2 + \left(\omega \cdot U \cdot \frac{dt}{dI}\right)^2}$$

Ziel ist es, die Impedanz Z rein ohmsch Z=R werden zu lassen.

#### 7. 3 Elimination der induktiven Last

#### 7. 3. 1 Theoretische Bedingungen

Das Ziel, die Verringerung der Verluste und somit letztendlich der Wärme erfolgt über das Eliminieren der induktiven Last.

Im Optimalfall muss dann gelten:

$$X_L = j \cdot \omega \cdot L = 0$$

 $\Rightarrow$ 

$$\omega \cdot U \cdot \frac{dt}{dI} = 2\pi \cdot f \cdot U \cdot \frac{dt}{dI} = 0$$

Physikalische Größe	Praktische Bedeutung	Realisierbarkeit
f = 0	Schweißfrequenz	Gleichspannungschweißen
U = 0	Schweißspannung	nicht möglich
dt = 0	Wellenform	gut beeinflussbar
$dI \approx \infty$	Schweißstrom	begrenzt möglich

#### 7. 3. 2 Praktische Bedeutung

Für die physikalischen Größen dt und dI sind enge technologische Grenzen gesetzt. Dadurch fällt die Mehrzahl der interessanten Wellenformen als Möglichkeit heraus. Grundsätzlich technologisch bleiben nur zwei Wellenformen als Option:

- sinusähnliche Wellenformen
- rechteckähnliche Wellenformen

#### 7. 4 Schweißstromquellen unter dem Gesichtspunkt der Impedanzverlustminimierung

In diesem Abschnitt werden die wichtigsten Schweißstromquellen für das Rollennahtschweißen kurz beschrieben.

Aus der ingenieurwissenschaftlichen Literatur sind Rollenschweißmaschinen mit unterschiedlichen Schweißstromquellen unter Verwendung verschiedener Stromarten bekannt.

- Gleichstrom (DC)
- Mischstrom (DC + AC)
- Mittelfrequenter Wechselstrom (MF)
- Hochfrequenter Wechselstrom (HF)
- Niederfrequenter, rechteckförmiger Wechselstrom (LF)

#### 7. 4. 1 Gleichstrom

- Vorteile:
  - praktisch keine Wirbelstrom- und Hysteresisverluste in der Schweißmaschine
- Nachteile:
  - erhöhte Gefahr der Lichtbogenbildung
  - hohe Stromventilverluste
  - technologische Schwierigkeiten der Nahtqualität

#### 7. 4. 2 Mischstrom

Der Grundgedanke besteht darin, einen Gleichstrom über die Elektroden zu leiten, der das Schweißgut bis unterhalb seines Schmelzpunktes erhitzt. Dem Gleichstrom wird ein Wechselstrom überlagert, dieser kann rechteck- oder sinusförmig sein. Wesentlich dabei ist, dass der AC- Effektivwert maximal 30% vom Gesamteffektivwert des Schweißstroms beträgt.

#### 7. 4. 3 Mittelfrequenter Wechselstrom

Ausgangspunkt für die Entwicklung der Schweißstromquellen war die Forderung nach höheren Schweißgeschwindigkeiten. Mit netzfrequentem Wechselstrom sind je nach Qualitätsansprüchen an die Schweißnaht nur maximal 6 bis 10 m/Minute erreichbar. Hauptnachteil der Verwendung von MF- Strom sind die hohen Wirbelstromverluste in der Maschine.

Weitere Eigenschaften lassen sich nur unter der Berücksichtigung der konkreten MF- Stromquelle ableiten. Entsprechend der praktischen Bedeutung kommen rotatorische bzw. statische Umrichter in Frage. Frequenzvervielfacher auf magnetischem Funktionsprinzip spielen heute keine Rolle mehr.

#### 7. 4. 4 Hochfrequenter Wechselstrom

Der HF- Strom hat für das Rollennahtschweißen (noch) keine praktische Bedeutung.

Die obere nutzbare Frequenz des Schweißstromes wird von folgenden Faktoren bestimmt:

- Wirbelstrom- und Hysteresisverluste in der Schweißmaschine
- Blindleistungsbedarf im Lastkreis
- Gesamtwirkungsgrad der Schweißmaschine

Durch den Einsatz von speziellen Schweißtransformatoren, welche unmittelbar auf der Elektrodenwelle angeordnet sind und mit dieser rotieren, lässt sich die obere Frequenzgrenze erhöhen. Praktisch sind mit dieser Maßnahme Frequenzen bis 5kHz beherrschbar. Näheres ist unter Patentnummer (BRD) 2406693, Anmeldetag 13.02.1974 zu finden.

Der Einsatz dieser Technik bringt Nachteile mit sich:

- teurer Spezialtransformator mit hohem Übersetzungsverhältnis
- Verwendung geteilter, einseitiger Rollenelektroden.

#### 7. 4. 5 Rechteckförmiger Wechselstrom

Der Hauptnachteil des MF- Schweißstromes besteht in der Erzeugung hoher dI/dt- Werte während der Reversierphase des Stromes in der induktiven Last. Die induktive Zeitkonstante praktisch realisierter Rollennahtschweißanlagen liegt bei etwa 0,7 bis 1,5ms. Für die maximale Schweißgeschwindigkeit von 60m/Minute muss die Zeitdauer für einen Reversiervorgang deutlich unter 1ms liegen, damit keine Wärmeeinbrüche im Nahtverlauf entstehen.

In der Literatur sind viele Veröffentlichungen zu diesem Problem zu finden. Leider sind die meisten der aufgezeigten Lösungsvorschläge nicht praktikabel. Für weitergehende Informationen sei auf die Dissertation von Thomas Klärner "Mittel- und Niederfrequenztechnik für das Rollennahtschweißen bei dünnen Blechen" hingewiesen, sowie die dort enthaltenen Literaturempfehlungen.

 $\LaTeX 2_{\varepsilon}$ 

# Untersuchung der Besonderheiten beim Rollennahtschweißen großer Längen Impedanz – Wunsch

Dipl.- Ing. Björnstjerne Zindler, M.Sc. www.Zenithpoint.de

Erstellt: 23. März 1996 – Letzte Revision: 24. November 2017

#### **Inhaltsverzeichnis**

1 Ersatzfunktion für die Impedanz nach Wunsch

2

#### Literatur

#### 1 Ersatzfunktion für die Impedanz nach Wunsch

Professor Gerhard Wunsch beschreibt in Band 2 "Feldtheorie – Elektromagnetische Felder" zwei Funktionen  $F_1$  und  $F_2$ , welche die Ermittlung der Leistungsverteilung unter Einfluss der Impedanz ohne die Ermittlung von  $n_{MAX}$  ermöglicht. Die Beschreibung zur Berechnung der Verlustleistung, respektive der Wärmeentwicklung in dünnen Blechen lässt sich für vorliegende Aufgabenstellung nutzen unter der Annahme, dass sich nicht die Blechdicke ändert, sondern der betrachtete Abstand zum Schweißpunkt.

$$\tilde{\tilde{P}}_{S}^{(3D)}\left(n;\chi\right)\propto F_{1}\left(n;\chi\right) \qquad \qquad Q_{S}^{(3D)}\left(n;\chi\right)\propto F_{2}\left(n;\chi\right)$$

Mit:

[002]

$$F_{1}\left(n;\chi\right) = \frac{\chi^{2}}{n^{2}} \cdot \frac{\sinh\frac{n^{2}}{\chi^{2}} - \sin\frac{n^{2}}{\chi^{2}}}{\cosh\frac{n^{2}}{\chi^{2}} + \cos\frac{n^{2}}{\chi^{2}}} \qquad F_{2}\left(n;\chi\right) = \frac{1}{2} \cdot \frac{\chi^{2}}{n^{2}} \cdot \frac{\sinh\frac{n^{2}}{\chi^{2}} + \sin\frac{n^{2}}{\chi^{2}}}{\cosh\frac{n^{2}}{\chi^{2}}}$$

Wobei die Wirkleistung P der Realteil und die Blindleistung Q der Imaginärteil der komplexen Scheinleistung Sist.

Daher gilt für den Betrag der Scheinleistung S:

$$S^{(3D)} = \sqrt{\tilde{\tilde{P}}_S^{(3D)^2} + Q_S^{(3D)^2}}$$

Die folgende grafische Abbildung beinhaltet die Grafen von  $S^{(3D)}$  und  $\tilde{\tilde{P}}_S^{(3D)}$ , sowie von  $P_S^{(3D)}$  mit dem Wert  $\xi=1,371$ .

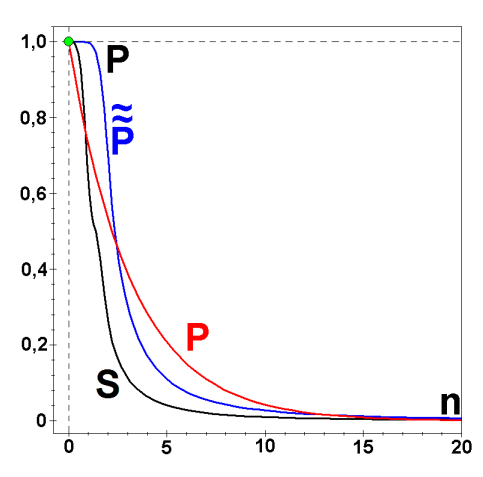


Bild X.X: Die ermittelten Leistungen  $S^{(3D)},\,\tilde{\tilde{P}}_S^{(3D)},\,P_S^{(3D)}$  grafisch dargestellt.

Eine Neuberechnung von  $\xi$  für eine minimale Abweichung zwischen  $P_S^{(3D)}$  und  $S^{(3D)}$  kann nach der Festlegung "3D- Leistung - Wunsch" erfolgen. Der dann ermittelte Wert für  $\xi$ :

$$\xi = 1,713$$

Dieser Wert liegt jedoch außerhalb der Festlegung des Definitionsbereiches für  $\xi$  von:

$$\frac{3}{2} \le \xi \le 1$$

Der Grund ist, dass diese Festlegung auf der Annahme beruht, dass  $\xi$  in einem verlustfreien System wirkt. Für den Fall, dass ein Verlust infolge einer Induktivität vorliegt, gilt für  $\tilde{\xi}$ :

$$\tilde{\xi} > \frac{3}{2}$$

Für diese Werte wird  $\nu$  negativ. Der minimal zulässige negative Wert ist dann erreicht, wenn die Funktion  $\nu$  eine Polstelle erreicht und somit keine praktisch nutzbaren Werte mehr darstellt.

Dieser Fall wäre dann, wenn:

$$(1+\nu)\cdot (1+\sqrt{3}) + 1 + \sqrt{1+2\cdot\psi} = 0$$

 $\Rightarrow$ 

$$v = -\frac{2 + \sqrt{3} + \sqrt{1 + 2 \cdot \psi}}{1 + \sqrt{3}}$$

Für gegebenes Intervall von  $\psi$  ist berechenbar:

$$1 \le \psi \le 10 + 6 \cdot \sqrt{3} \approx 20,392$$

 $\Rightarrow$ 

$$-2 \le \nu_{MIN} \le -\frac{5+3\cdot\sqrt{3}}{1+\sqrt{3}} \approx -3,732$$

Das Ziel des Schweißvorganges ist es, den Kontaktwiderstand durch einen Stoffwiderstand zu ersetzen. Bedeutet hier die Forderung, dass der Graf von  $\nu$  den von  $\psi=1$  schneiden muss. Damit ist  $\nu_{MIN}$  definiert.

$$\nu_{MIN} > -2$$

Jetzt kann vorliegendes Kennlinienfeld vervollständigt werden.

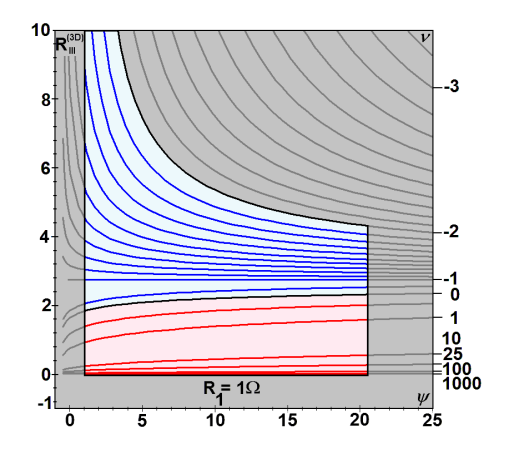


Bild X.X: Erweitertes Kennlinienfeld. **Rot** = rein ohmsch, **Blau** = zusätzlich induktivitätsbelastet.

1 Ersatzfunktion für die Impedanz nach Wunsch

# Untersuchung der Besonderheiten beim Rollennahtschweißen großer Längen Anhang

Dipl.- Ing. Björnstjerne Zindler, M.Sc.

www.Zenithpoint.de

Erstellt: 23. März 1996 – Letzte Revision: 25. November 2017

#### **Inhaltsverzeichnis**

1	Zusai	mmenf	assun	ıg dei	wicl	htigs	ten i	Fak	tore	n zı	ır I	Erm	ittlı	ıng	de	$\mathbf{s} R$	III	′′-]	Keı	nn	lin	iiei	nfe	:l-
	des																							2
	1.1	$\psi$																						. 2
	1.2	$\mu$																						. 2
	1.3	$\mu^{ullet}$																						. 2
		$\mu^{ulletullet}$ .																						
		$\varsigma_{II}$																						
		$\varsigma_{III}$ .																						
	1.7	$\nu$																						. 3
	1.8	$\xi \dots$																					•	. 3
2	Das I	$R_{III}^{(3D)}$ - 1	Kenn	linien	feld	und	dere	n D	eriv	ate														2
		$R^{11}$																						. 4
	2.2	I und $I$	·																					. 5
	2.3	$\Delta I$									•													. 6

#### Literatur

# 1 Zusammenfassung der wichtigsten Faktoren zur Ermittlung des $R_{III}^{(3D)}$ - Kennlinienfeldes

#### **1.1** ψ

[002]

Der Verhältnisfaktor  $\psi$  beschreibt den Quotienten aus Kontakt- $R_2$  und Stoffwiderstand  $R_1$  der zu verschweißenden Bleche an der Bearbeitungsstelle.

$$\psi = \frac{R_2}{R_1}$$

 $\Rightarrow$ 

$$0 \le \psi \le 10 + 6 \cdot \sqrt{3} \approx 20, 4$$

#### **1.2** μ

Der Korrekturfaktor  $\mu$  beschreibt das Verhältnis des Widerstandes  $R_{III}^{(2D)}$  in der Schweißlinse zum Stoffwiderstand  $R_1$  im 2D- Modell.

$$\mu = \frac{R_{III}^{(2D)}}{R_1}$$

 $\Rightarrow$ 

$$\mu = \frac{\left(1 + \sqrt{3}\right) \cdot \left(1 + \sqrt{1 + 2 \cdot \psi}\right)}{2 + \sqrt{3} + \sqrt{1 + 2 \cdot \psi}}$$

 $\Rightarrow$ 

$$1,366 \approx \frac{1}{2} \cdot \left(1 + \sqrt{3}\right) \le \mu \le 1 + \sqrt{3} \approx 2,732$$

#### **1.3** μ•

Beschreibt als Korrekturfaktor die Stromflussänderung während des Schweißprozesses von "vollständig unverschweißt" zu "vollständig verbunden".

$$\mu^{\bullet} = \frac{\sqrt{1+2\cdot\psi} - \sqrt{3}}{\left(1+\sqrt{3}\right)\cdot\left(1+\sqrt{1+2\cdot\psi}\right)}$$

 $\Rightarrow$ 

$$0 \le \mu^{\bullet} < \frac{1}{1 + \sqrt{3}} \approx 0,366$$

#### **1.4** μ••

Der Korrekturfaktor  $\mu^{\bullet \bullet}$  beschreibt das Verhältnis des Widerstandes  $R_{III}^{(3D)}$  in der Schweißlinse zum Stoffwiderstand  $R_1$  im 3D- Modell.

$$\mu^{\bullet \bullet} = \frac{R_{III}^{(3D)}}{R_1}$$

 $\Rightarrow$ 

$$1,366 \approx \frac{1}{2} \cdot \left(1 + \sqrt{3}\right) \le \mu \le 2$$

#### 1.5 $\varsigma_{II}$

Der Bilanzfaktor  $\varsigma_{II}$  beschreibt das Verhältnis von Verlust- $P_V$  und Schweißleistung  $P_S$  für das 2D-Modell.

$$\varsigma_{II} = \frac{P_V^{(2D)}}{P_S^{(2D)}}$$

 $\Rightarrow$ 

$$\varsigma_{II} = \frac{2}{\sqrt{1 + 2 \cdot \psi} - 1}$$

 $\Rightarrow$ 

$$0 < \varsigma_{II} \le \frac{2}{\sqrt{3} - 1} \approx 2,732$$

#### **1.6** $\varsigma_{III}$

Der Bilanzfaktor  $\varsigma_{III}$  beschreibt das Verhältnis von Verlust- $P_V$  und Schweißleistung  $P_S$  für das 3D- Modell.

$$\varsigma_{III} = \frac{P_V^{(3D)}}{P_S^{(3D)}}$$

 $\Rightarrow$ 

$$\varsigma_{III} = \frac{1}{2} \cdot \frac{2 - \mu}{\mu - 1}$$

 $\Rightarrow$ 

$$0 < \varsigma_{III} \le \frac{1}{2} \cdot \sqrt{3} \approx 0,866$$

#### **1.7** ν

Anzahl der Widerstandsmatten parallel zur Schweißnaht im 3D- Modell

 $0 \le \nu$  — rein ohmsche Last

 $-2 < \nu < 0 \quad o \quad {
m zus\"{a}tzlich}$  induktive Last

#### **1.8** $\xi$

Der Leistungsfaktor beschreibt das Verhältnis der Leistungsverteilung zweier benachbarter Widerstandsmatten. Sie ist Basis der Leistungsbeschreibung in der Schweißlinse.

$$\xi = \frac{(2+\nu) \cdot (1+\sqrt{3}) + 1 + \sqrt{1+2 \cdot \psi}}{(1+\nu) \cdot (1+\sqrt{3}) + 1 + \sqrt{1+2 \cdot \psi}}$$

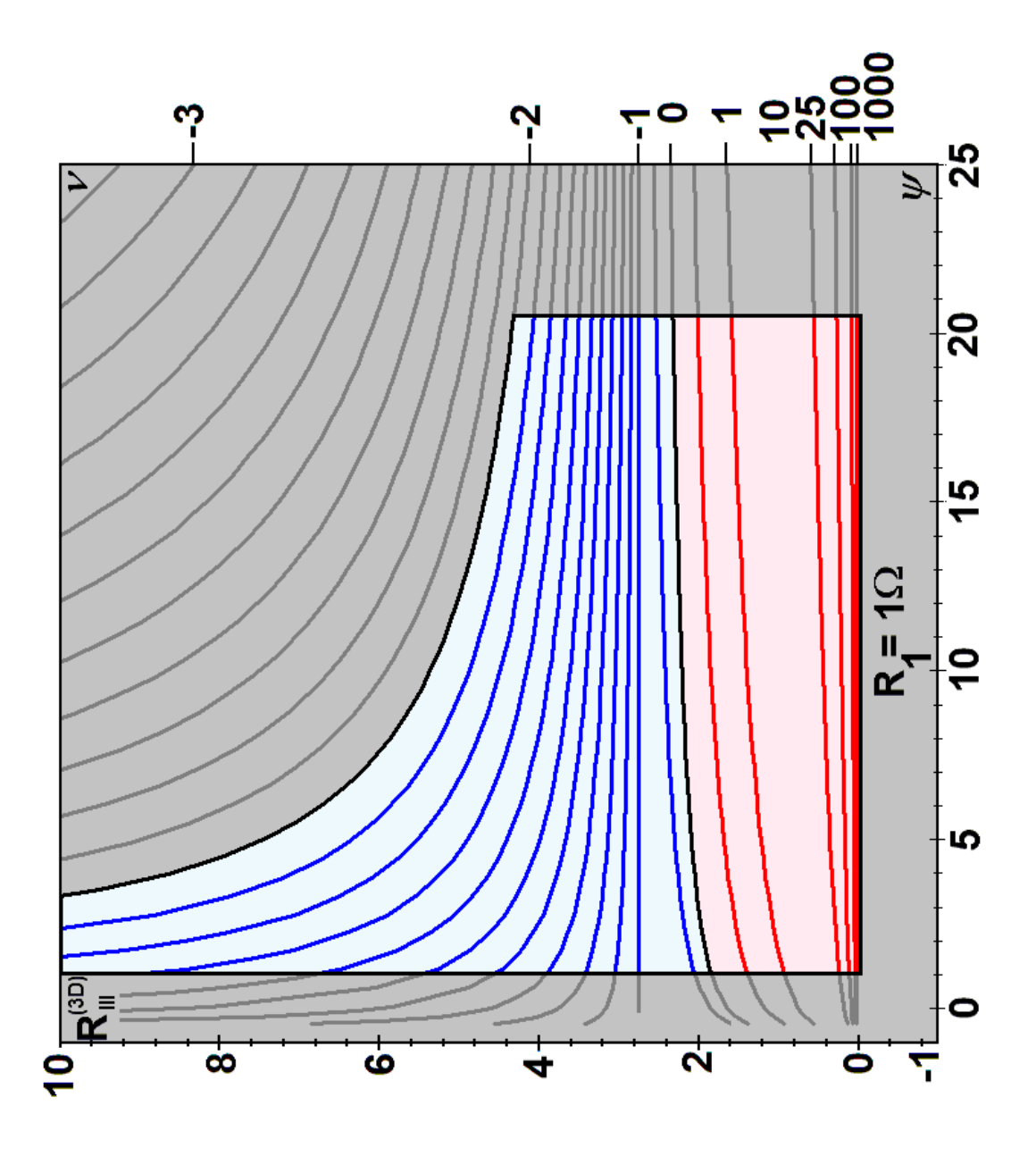
 $\Rightarrow$ 

 $1,5 \ge \xi \ge 1 \quad o \quad \text{rein ohmsche Last}$ 

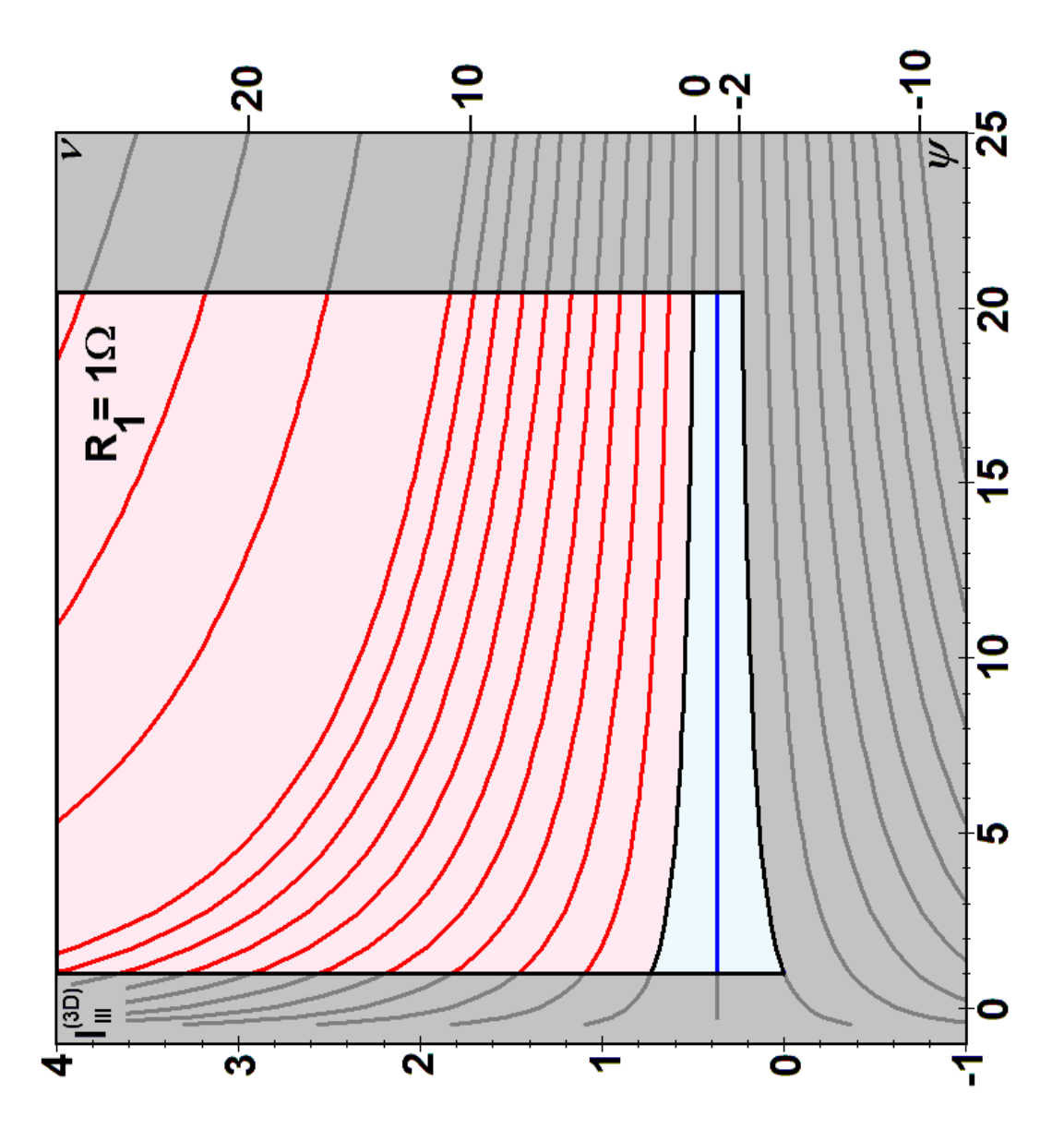
 $1, 5 < \xi$  — zusätzlich induktive Last

# 2 Das $R_{III}^{(3D)}$ - Kennlinienfeld und deren Derivate

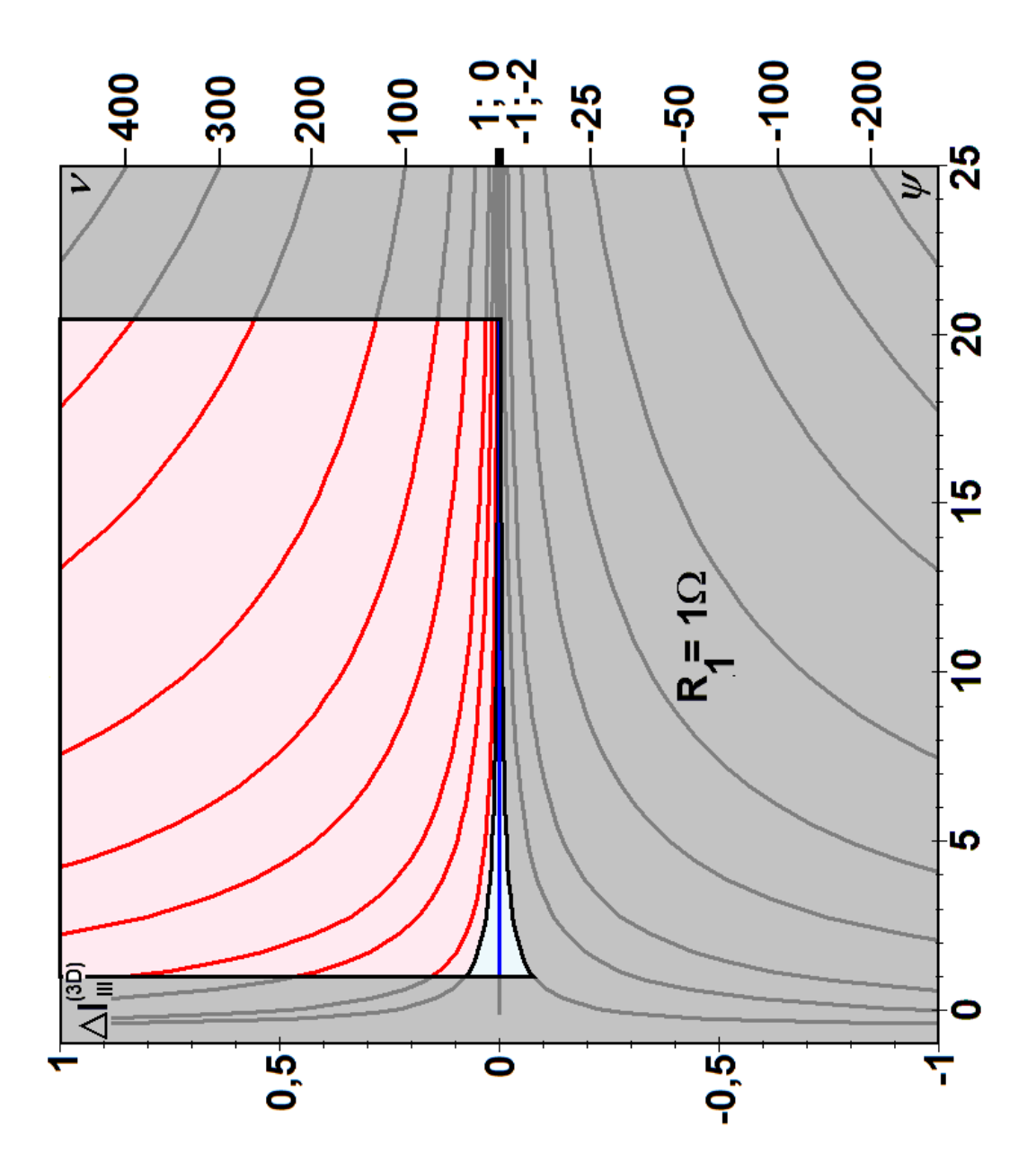
#### **2.1** *R*



### **2.2** *I* und *P*



### **2.3** $\Delta I$



 $\operatorname{LAT}_E\!\! X \, 2_{\mathcal E}$